

870117

UNIVERSIDAD AUTONOMA DE GUADALAJARA

Incorporada a la Universidad Nacional Autónoma de México

FACULTAD DE INGENIERIA MECANICA ELECTRICA



72
F. E. Leon

TESIS CON
FALLA DE ORIGEN

CONTROL DE FRECUENCIA VARIABLE PARA UN MOTOR TRIFASICO
DE INDUCCION, ETAPA DE CONTROL

TESIS PROFESIONAL

QUE PARA OBTENER EL TITULO DE:

INGENIERO MECANICO ELECTRICISTA
AREA ELECTRICA Y ELECTRONICA

PRESENTA:

BAYARDO MANUEL CERECER CASTRO

GUADALAJARA, JAL., 1988



UNAM – Dirección General de Bibliotecas Tesis Digitales Restricciones de uso

DERECHOS RESERVADOS © PROHIBIDA SU REPRODUCCIÓN TOTAL O PARCIAL

Todo el material contenido en esta tesis está protegido por la Ley Federal del Derecho de Autor (LFDA) de los Estados Unidos Mexicanos (México).

El uso de imágenes, fragmentos de videos, y demás material que sea objeto de protección de los derechos de autor, será exclusivamente para fines educativos e informativos y deberá citar la fuente donde la obtuvo mencionando el autor o autores. Cualquier uso distinto como el lucro, reproducción, edición o modificación, será perseguido y sancionado por el respectivo titular de los Derechos de Autor.

I N D I C E

	PAG.
INTRODUCCION	1
ANTECEDENTES	6
CAPITULO I: CIRCUITO SENSOR DE LINEA	12
CAPITULO II: CIRCUITO DE TIEMPO	25
CAPITULO III: CIRCUITO REGULADOR	41
CAPITULO IV: CONCLUSIONES	54
APENDICE A: COMPARADORES	58
APENDICE B: RETROALIMENTACION POSITIVA	64
APENDICE C: DIODOS ZENER	68
APENDICE D: REPLICACION DEL IMPRESO	80
BIBLIOGRAFIA	93

I N T R O D U C C I O N

El proyecto de tesis que se va a desarrollar consiste principalmente en el diseño y realización de una parte de un control de velocidad, aplicado a motores trifásicos de inducción hasta de 1 1/2 Hp. de potencia, utilizando para este fin dispositivos de estado sólido.

Desde la antigüedad, cuando recién salieron al mercado los primeros motores, tanto inducción, como de corriente directa, la finalidad fue controlar su velocidad. Las aplicaciones que se tienen son muy variadas tales como, bombas, ventiladores, trenvías, montacargas, grúas, transportadoras, equipo de servicios y todo tipo de procesos donde se es necesario un movimiento.

El problema siempre existió no se podía variar la velocidad del motor de inducción, para esto se ha recurrido hoy y siempre a poleas, engranes, transmisiones o en forma más específica a los llamados motoreductores, que no son otra cosa que una caja de velocidades que utiliza engranes como elemento indispensable.

Como nos podemos cerciorar fácilmente todo este tipo de elementos adicionales al motor es de un costo muy elevado, en ocasiones más que el motor en si, para todo esto debemos considerar que hay infinidad de procesos, donde los motores de altas y bajas capacidades tienen que variar su velocidad; su construcción es la del motor de inducción.

La justificación mas esencial, por lo que tenemos que utilizar motores de inducción o de corriente alterna, que en lugar de uno de directa, es mucho más notable en motores de alta capacidad, como de 1/2 Hp. en adelante.

Las características del motor de corriente alterna se engloban principalmente en lo que a continuación menciono: Bajo costo, robustez propia, fácil de manejar, muy confiable, no es controlado por el voltaje de excitación; que es constante con la linea de alimentación, casi no posee desgaste y requiere poco mantenimiento.

Los problemas comienzan cuando se ocupa en procesos donde la velocidad tiene que variar, y por construcción propia del motor su velocidad depende de la frecuencia y del número de polos, o sea, quer para variar dicha velocidad lo tendríamos que hacer por medio de un motor que tuviera un especial diseño, para

ir, variando un número de polos, lo cual sería demasiado complicado en funcionamiento y construcción, por otra parte; podríamos variar la frecuencia que es directamente proporcional con la velocidad del motor.

Por todo esto es necesario un aparato que varíe la frecuencia, para la velocidad y el voltaje de excitación; con el fin de que el par de salida sea constante para cualquier velocidad de trabajo. Para este fin se desarrolló este diseño.

Por otra parte nos podemos cuestionar, porque no utilizar un motor de corriente directa que en si tiene control de velocidad a través de su campo de excitación, en lugar de uno de inducción, las respuestas son verídicas como el costo, desgaste, mantenimiento, complejidad y por último ocupa una fuente de corriente directa para la excitación de su campo, para esto se ocupa la construcción de un rectificador o una batería.

Por todas estas desventajas se ha considerado que la mejor opción para motores de alta capacidad, donde se tenga que variar la velocidad, es más conveniente el uso de un inversor aunado con un motor de corriente alterna, que la compra de uno de directa que aumentaría el costo.

En general como se va a controlar la velocidad del motor, lo primero que hace nuestro diseño es variar la frecuencia de manejo, para la velocidad principalmente; y tambien se varia el voltaje de alimentación, que es el de excitación del estator para obtener un torque constante a la salida, pudiendo controlar estos dos parámetros se puede decir que obtendríamos un control total del motor; todo esto se logra utilizando una configuración , en que la linea trifásica de voltaje es transformada a un voltaje de corriente directa variable, para esto utilizaremos un rectificador de onda completa con escala y un inversor para controlar la frecuencia, con todo esto podremos mejorar y variar la velocidad de cualquier motor de inducción dentro del rango especificado.

A N T E C E D E N T E S

En la actualidad se tienen un sinnumero de procesos; ya sea en la industria , los servicios domesticos y de transporte, con todo esto en ocasiones hay necesidad de obtener un dispositivo especial que controle estos aparatos, hablamos de control por la variancia de la velocidad que se ocupa en algunos trabajos, para estos se tuvo la necesidad de diseñar un control de velocidad para motores de inducción , por ser mas eficiente que los dispositivos existentes que realizan este tipo de trabajo, como se puede notar la necesidad es muy grande, por los costos y la inexistencia del aparato en el mercado interno.

Todos los beneficios que se obtendrian con la ejecución correcta del proyecto, serian muy variadas: como alta confiabilidad, un control total, tanto de velocidad, como de torque, bajo mantenimiento, alta eficiencia , minimo desgaste y por ultimo; que si tomamos en cuenta que en el pais no existe, reducirá considerablemente los costos del diseño para el consumo nacional.

El problema principal que estamos tratando de atacar, es el de obtener por métodos electrónicos y dispositivo de estado sólido, un control de velocidad total para un motor de inducción sin variar la fuerza del torque de salida, el problema es: que por construcción propia del motor, la única forma es variando la frecuencia del mismo, por otra parte

también se puede lograr variando la construcción interna, es decir; una variación del número de polos del estator, pero se considera más conveniente la variación de la frecuencia con la velocidad; las cuales son proporcionales, y la del voltaje de excitación del estator que también puede variar por medio del rectificador, para obtener un torque constante a la salida.

No conviene llevar a cabo todo el diseño satisfactoriamente por su alta utilidad en todos los campos y también por su bajo costo, que se obtendría comparado con el que tendríamos en caso de comprarlo en el extranjero, pagando el costo y los impuestos de importación, por todo esto y muchas otras cosas nos conviene llevarlo a cabo de manera definitiva y eficiente.

La opción de la realización de este inversor, es más rentable que uno de los dispositivos empleados en la actualidad y es más definitivo para actores de capacidades medias y altas.

La inversión en nuestro caso es un poco alta, pero en general no se compara con los gastos que se tendrían en caso de comprar un inversor a una compañía extranjera; por otra parte en nuestro país es muy necesaria en todo el mercado, donde ocupemos que se varie la velocidad, el mercado del producto sería muy

extenso y además como se mencionó no existe en nuestro país, y esto redundaría en dinero y conocimiento el trabajo en general.

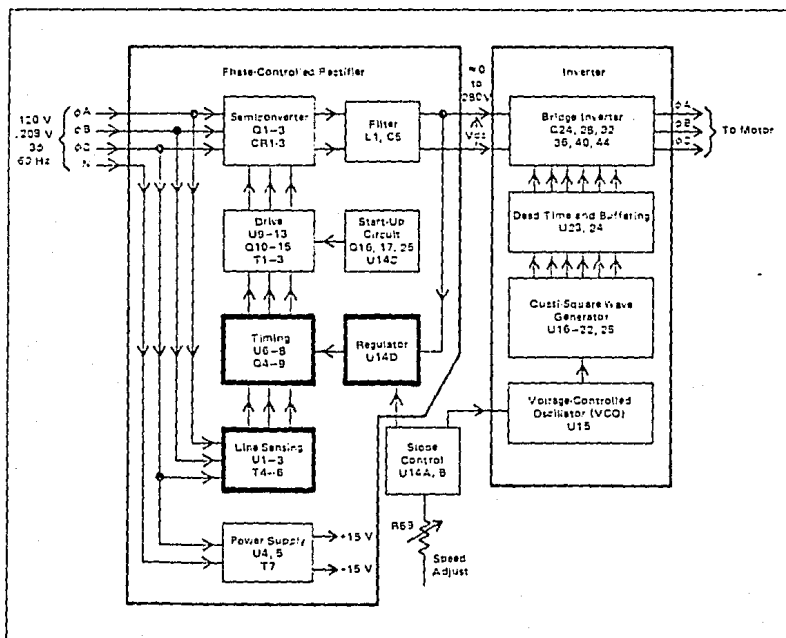
El diseño existe y es posible de realizarse, pero como todas las cosas tiene sus limitaciones, como el tipo de motor y capacidad del mismo, y en nuestro caso es uno de inducción jaula de ardillas; y hasta 1 1/2 Hp de potencia.

El diseño del aparato que estoy mencionando es muy complicado, por eso fue dividido entre cuatro estudiantes de octavo semestre de ingeniería, y como tenemos doce circuitos esenciales se dividió en forma equitativa, y cada uno desarrolle tres circuitos diferentes, pero que tuvieran cierta relación entre si.

Un aspecto importante es que mi trabajo de tesis es parte de este proyecto, que aparte de todo tiene la característica de ser didáctico porque fue construido para utilizarse en los laboratorios de la escuela de ingeniería.

Este proyecto lo llamamos VELCO (Velocidad Controlada), en mi caso he desarrollado tres circuitos que pertenecen a la parte de control, la otra parte de que está compuesto el diseño es de potencia.

Mis circuitos son los siguientes: Banco de líneas, de tiempo y regulador; siendo éstos los que componen la primera etapa de control, están conectados a la linea trifásica directamente, a través de la transformación de estos voltajes en los circuitos para el control, a continuación se muestra un diagrama total del diseño y en los recuadros se encuentran marcados los circuitos que se estudian en este trabajo de tesis.



La etapa de control es importante porque va a tener a su cargo la sincronización de los pulsos que controlan la parte de potencia, para que se realice el trabajo deseado de cambio de frecuencia y de voltaje correctamente.

El desarrollo del proyecto es muy rentable para cualquier empresa, se vendería considerablemente; y además el costo no se compararía, en caso de que la compra sea en el extranjero, así como la compra de otro motor de corriente directa de la misma capacidad.

Por último nos damos cuenta que el proyecto justifica un amplio e importante campo de trabajo para cualquier investigador.

C A P I T U L O I

CIRCUITO SENSOR DE LINEA

Este primer capítulo lo constituye el circuito llamado sensor de linea, el cual tiene como finalidad principal la comparación de los voltajes desfasados de alimentación; los cuales son de linea o neutro, todo esto se hace a través de amplificadores operacionales.

Las tres salidas de este circuito sensor servirán de referencia para el circuito de tiempo, el cual se encuentra englobado en el capítulo siguiente.

En la figura numero uno dentro del recuadro se puede observar el diagrama en su totalidad de este circuito, el cual fue construido el principio en una tabletta de prueba y ya que se obtuvieron los resultados deseados a través de simulaciones, se pasó a la fabricación del impreso, en el cual se iban a quedar montados definitivamente todos los componentes electrónicos. La realización del impreso se hizo por medios fotográficos y un proceso de serigrafía (ver apéndice D), el dibujo del impreso aparece en la figura número dos, donde lo que esta solo en el recuadro corresponde al circuito sensor de linea.

Todos los componentes electrónicos y de potencia, así como accesorios esenciales que entran en juego en la construcción del circuito, se encuentran descritos en la lista que se muestra a continuación, y todas sus especificaciones, como sustitutos curvas y características, se encuentran en el apéndice A.

FIGURA 1

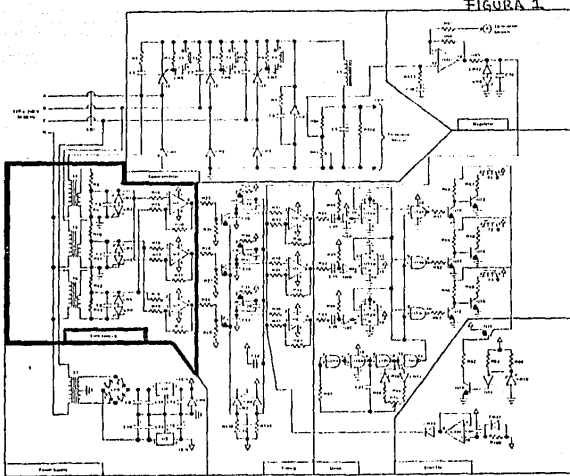
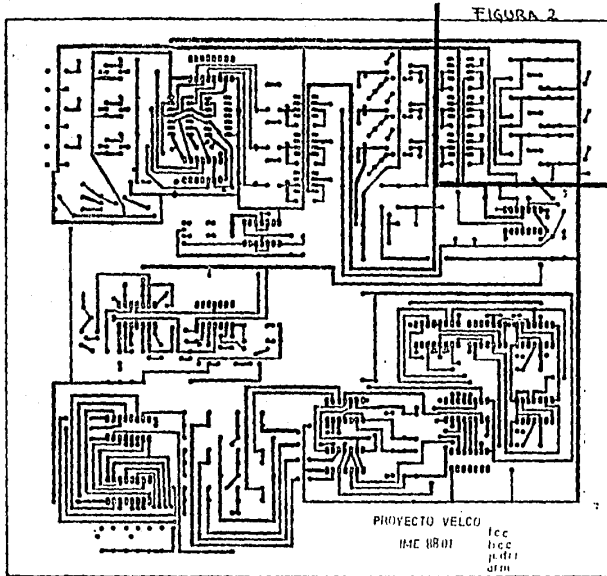


FIGURA 2



COMPONENTES BASICOS DEL CIRCUITO SENSOR DE LINEA.

- * TRES TRANSFORMADORES DE VOLTAGE
120 Volt.,/40 Vac., 50 mA., T4, T5, T6 .
- * TRES CIRCUITOS INTEGRADOS
MLM301 API (U1, U2, U3).
- * SEIS DIODOS ZENER 1N5241
11V, 1/2W (VR1, VR2, VR3, VR4, VRF, VR6).
- * TRES CAPACITORES DE 0.01 μ F; 50 VOLTS.
(C6, C7, C8).
- * TRES RESISTENCIAS DE 6.2 $\text{K}\Omega$, 1% , 1 W
(R8, R10, R12).
- * TRES RESISTENCIAS DE 1 $\text{K}\Omega$, 1% , 1 W
(R9, R11, R13).
- * SEIS RESISTENCIAS DE 1 $\text{K}\Omega$
(R14, R15, R16, R17, R18, R19).
- * TRES RESISTENCIAS DE 4.7 $\text{K}\Omega$
(R20, R21, R22).

F U N C I O N A M I E N T O

Este circuito en particular, toma la alimentación de las tres líneas de voltaje trifásicas equilibradas, las cuales se conectan al primario de los tres transformadores iguales reductores, que se encuentran a la entrada (izquierda) del circuito.

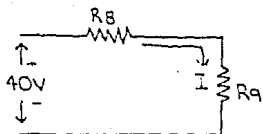
Después el voltaje se transforma por el principio de acople inductivo a aproximadamente 40 voltos, hay que recordar que este valor es el mismo en los tres transformadores, solo desfasados 120° entre sí; debido al principio que guarda todo sistema equilibrado.

Después de la transformación de voltaje, llega una señal senoidal de aproximadamente 60 voltos de referencia a pico; y es aplicada a un par de resistencias en serie para ser un divisor de voltaje.

Para sencillez de nuestro análisis, solo estudiaremos una fase del circuito, ya que guarda simetría en cuanto los valores; pero debemos recordar que hay un desfaseamiento, consideremos la fase A para nuestro estudio.

En el divisor de voltaje mencionado, las resistencias que entran en juego son R_8 y R_9 , cuyos valores son $6.2 \text{ k}\Omega$ y $1 \text{ k}\Omega$ respectivamente, con el análisis que se hace a continuación nos podemos dar cuenta qué voltaje se deriva de cada una de ellas, teniendo todos los valores, tanto de componentes, como de señales.

$$R_8 = 6.2 \text{ k}\Omega ; R_9 = 1 \text{ k}\Omega$$



$$I = \frac{V}{R_{\text{eq}}}$$

$$\begin{aligned} R_{\text{eq}} &= R_8 + R_9 \\ &= 6.2 + 1 \\ &= 7.2 \text{ k}\Omega \end{aligned}$$

$$I = \frac{40V}{7.2 \text{ k}\Omega} = 5.55 \text{ mA.}$$

$$V_{R_8} = (5.55 \times 10^{-3} \text{ A})(6.2 \times 10^3 \Omega) = \underline{\underline{34.49 \text{ V}}}$$

$$V_{R_9} = (5.55 \times 10^{-3} \text{ A})(1 \times 10^3 \Omega) = \underline{\underline{5.55 \text{ V}}}$$

$$V_{\text{pico-ref}} = 5.55 + \sqrt{2} \approx 8 \text{ V.} \quad V_{\text{pp}} \approx \underline{\underline{16 \text{ Volts.}}}$$

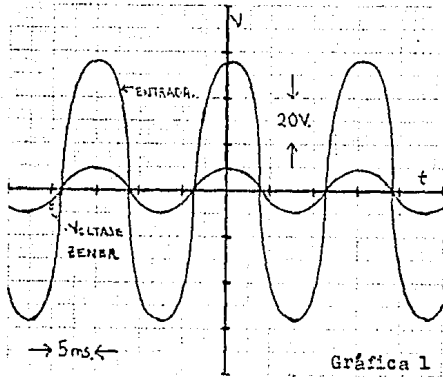
El análisis anterior sería válido para las tres fases, R10 con R11 y P12 con P13.

Como nos podemos dar cuenta claramente, es mucho mayor el voltaje que se divide en P5 para la fase A, esto es debido a los valores que tienen ambas resistencias, cabe que aclarar que la potencia P8 es mayor que P5, observando la figura 1 nos damos cuenta que el voltaje que se obtiene en P5 es el mismo para C6; y los diodos zener VR1 y VF2 por estar conectados en paralelo con dicha resistencia.

La función primordial del capacitor C6, es la de filtrar la onda senoidal de voltaje después del divisor de tensión, no afectando esto en los parámetros originales del circuito.

Los diodos zener VR1 y VF2, que se encuentran en forma opuesta en el circuito, son para evitar los altos niveles de voltaje en caso de un desbalanceo de la linea a que aumentaría demasiado su voltaje de pico, es decir; harían el trabajo de un regulador, donde la onda senoidal tendrá un valor máximo de 11 volts que es lo especificado por el diodo, pero en condiciones normales el voltaje es de aproximadamente 10 volts de referencia a pico (ver gráfica 1) y el diodo no alcanza a trabajar para este rango de voltaje, sólo lo haría en caso de rebasar los 11 volts especificados.

La descripción más completa del funcionamiento de los diodos opuestos se puede encontrar en el apéndice C.



Gráfica 1

Como se puede ver en la figura 1, las tres fases tienen la misma configuración por lo tanto se tendrían las mismas señales a las entradas de los amplificadores operacionales, pero desfasadas 120° entre sí.

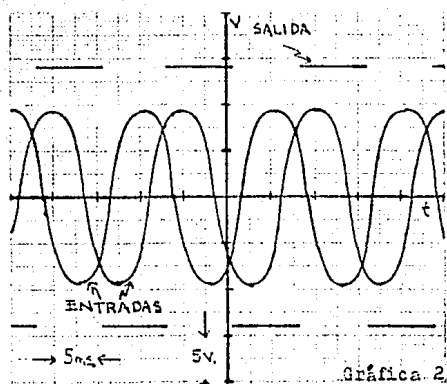
Los amplificadores operacionales son utilizados como comparadores (ver apéndice A), los cuales como señales de entrada toman la combinación de las tres fases como son:

Para el comparador U1 fase A con C, para el U2 B con A y para U3 C con B, como se puede observar, este opam por especificaciones tiene una amplia ganancia en lazo abierto, es decir, no ocupa retroalimentación negativa, es por eso que los pulsos a la salida oscilan entre $+V_{sat}$, y $-V_{sat}$, propias del amplificador.

Como se puede observar el opam tiene retroalimentación positiva a través de R10 (para la fase A), que nos sirve principalmente para evitar el ruido (ver apéndice B).

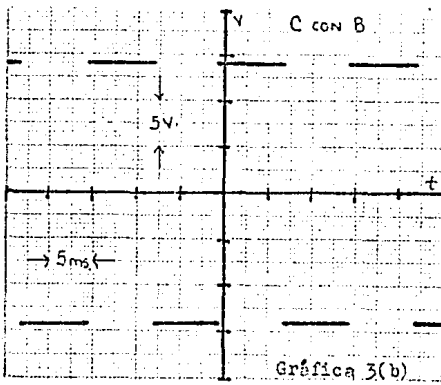
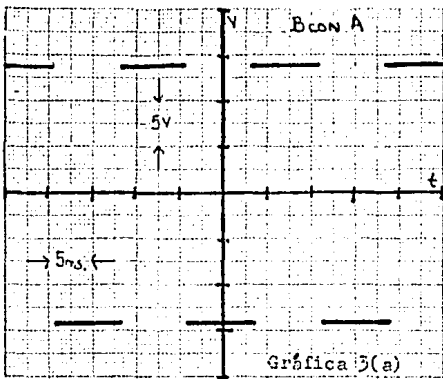
Continuando con el funcionamiento del opam como comparador, este toma una de las senoidales de una de las fases y la compara con la otra, es decir, los pulsos nos indican donde se cruzan las señales que se están comparando, dicho en otra forma en cada cruce de las señales que llegan a la patita inversora y no inversora, el amplificador cambia su estado, ya sea de $+V_{sat}$, a $-V_{sat}$, o viceversa, durando cada uno de los estados el tiempo que se tarda la señal en volver a cruzarse.

Con todo esto tenemos, que a la salida obtendremos unos pulsos cuadrados de valor $\pm V_{sat}$ como se observa en la gráfica 2.

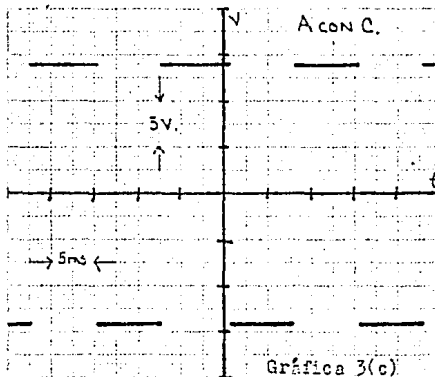


Grafica 2

Este mismo sucede en cada uno de los compresores, donde el voltaje de línes a neutro de cada una de las fases es comparada, recuerde que hay desfasamiento, es con esto que se tienen también los pulsos desfasados para cada compresión (ver gráficas T (a), T (b) y T (c)).



Los pulsos generados en este circuito sensor sirven de entrada al circuito de tiempo, el cual se describe en el capítulo siguiente.



C A P I T U L O II

CIRCUITO DE TIEMPO

En este capítulo describiremos el circuito de tiempo, el cual tiene como funcionamiento principal el control de una señal que viaja a través de otro circuito, denominado de mando o manejo, para controlar el ángulo de conducción del semiconvertidor a través de los gatillos de los SCR's, esto lo hace a través de una señal de rampa, la cual se compara con otra que es un voltaje constante que sale del circuito regulador (Capítulo III), la rampa es comparada con este voltaje, en el cruce de ambas se generan pulsos, los cuales fijaron la secuencia de disparo.

Es decir, para diferentes tipos o rangos de trabajo de los circuitos, el voltaje del regulador varía, los cruces por lo tanto se hacen en otros lados a diferentes tiempos, variando con esto la cantidad y la duración de los pulsos de control.

Este circuito toma señales de otros tres circuitos adicionales; como es el sensor de linea, el cual proporciona los pulsos a la entrada, el regulador y el circuito de arranque, los tres circuitos le proporcionan señales que le hacen variar su funcionamiento, dependiendo de todas las condiciones de trabajo a las que este supuesto el diseño.

En la figura 34 en el recuadro nos muestra el diagrama completo y esencial que se construyó, primero

se llevó a cabo en la tableteta de pruebas y ya que se obtuvieron todos los datos deseados, así como resultados se pasó a la construcción del impresor en el cual se describe en el apéndice D.

En la figura 4 (dentro del recuadro), se puede observar el diseño del impresor de este circuito en particular.

Todos los componentes electrónicos, de potencia y accesorios se enumeran a continuación y las especificaciones de sustitutos, ECG y de algunos componentes importantes se encuentran contenidos en el apéndice B.

FIGURA 3.

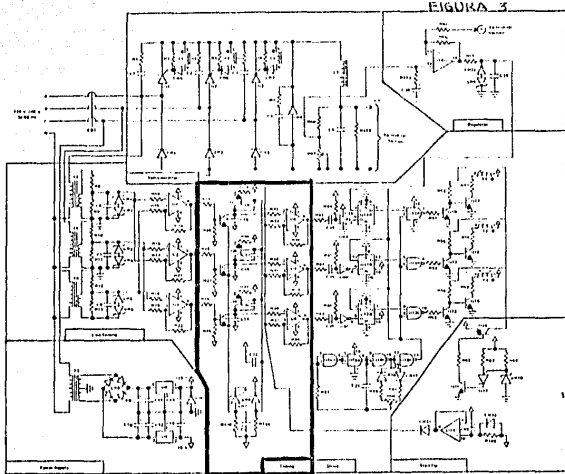
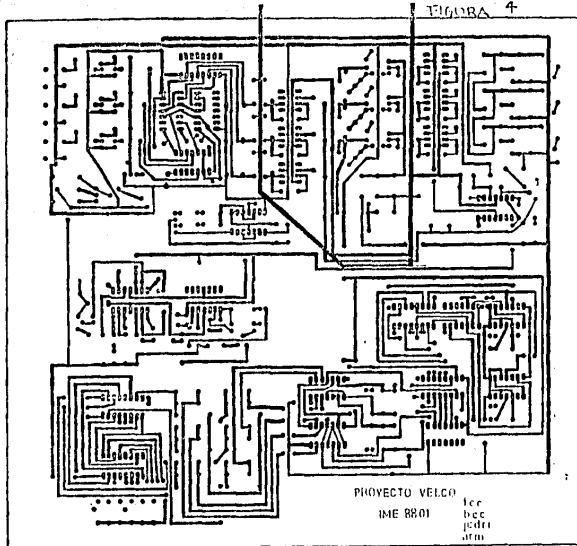


FIGURA 4



COMPONENTES BASICOS DEL CIRCUITO DE TIEMPO

- * TRES CIRCUITOS INTEGRADOS
NLM 201 AF1 (U6, U7, U8).
- * TRES TRANSISTORES
MPS-A20 (Q4, Q5, Q6).
- * TRES TRANSISTORES
2N2906 (Q7, Q8, Q9).
- * UN DIODO ZENER 1N534B
11 V., 5 W. (VR-7).
- * UN DIODO ZENER 1N5232
5.6V., 1/2 W. (VP-8).
- * TRES CAPACITORES 0.47 μ f.
(C15, C16, C17).
- * TRES CAPACITORES 0.01 μ f.
(C18, C19, C20).
- * UN CAPACITOR 0.1 μ .f.
(C22).
- * UN CAPACITOR 100 μ .f. 25 V.
ELECTROLYTIC (C23).

* TRES RESISTENCIAS 4.7 K Ω

(R23, R24, R25).

* TRES RESISTENCIAS 10 K Ω

(R26, R27, R28).

* TRES RESISTENCIAS 4.3 K Ω , 1W

(R24, R29, R31).

* SEIS RESISTENCIAS 10 K Ω

(R22, R23, R24, R25, R26, R27).

* TRES RESISTENCIAS 10 M Ω

(R28, R29, R30).

* UNA RESISTENCIA 1000 Ω , 1 W

(R158).

* UNA RESISTENCIA 5.1 K Ω

(R179).

F U N C I O N A M I E N T O

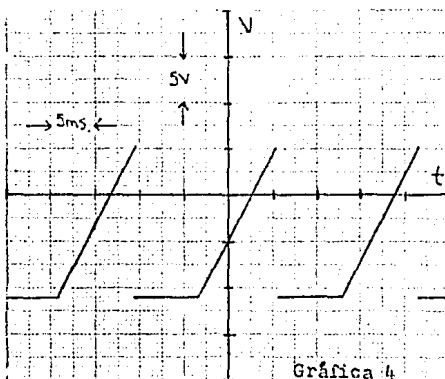
El circuito de tiempo toma a la entrada C (izquierdo) como señal de control de pulsos de los comparadores, que se originan en el circuito sensor de linea. estos pulsos como rebinsons iniciado varian de +15 a - 15 voltas, que es un voltaje de saturación del opam.

Si analizamos solo una fase como en el circuito anterior y consideremos que van las tres fases tenemos lo mismo, los resultados que obtendremos serán identicos, pero desfasados como en el caso anterior.

Si tomamos la fase A para nuestro estudio, tenemos que despues de R23 llegan unos pulsos a la base del transistor de aproximadamente 3 volts de pico a pico, pero ademas estos pulsos están desplazados de su

referencia a -11 volts aproximadamente, esto se logró con la conexión de R26 a -15 volts, estos pulsos son aplicados a la base de Q4 y son los que harán que el transistor se ponga en corte o en conducción.

El transistor Q4 tiene un voltaje constante de emisor, de -11 volts aproximadamente, este voltaje constante es producido por la combinación del diodo zener (VR7), la resistencia (R128) y el capacitor (C27), todos estos componentes se encuentran conectados de tal forma que el diodo es polarizado y nos genera un voltaje constante que se aplica al emisor, como puede observarse en la gráfica 4.



Para que el transistor Q4 se ponga en corte, el voltaje de la base siempre debe ser más negativo que el voltaje del emisor, porque el transistor es npn, para que el transistor se ponga en conducción el voltaje que se aplica en la base debe ser necesariamente más positivo, con esto decimos que cuando el pulso a la llegada de la base de Q4 es -11 voltos, el transistor está conduciendo, como varía a +12 voltos aproximadamente el transistor ya se encuentra en corte, con esto podemos hacer que el transistor funcione como un switch y que sea controlado por los pulsos que llegan a su base.

Analizando CT, se tiene que por pure configuración es una fuente de corriente constante, es decir, el voltaje que la llega a la base es constante, este voltaje es generado por el diodo zener (VPS) y la resistencia (R124). Como nos podemos dar cuenta, el diodo está conectado a +15 voltos, pero como este dispositivo está polarizado en forma inversa baja el voltaje a aproximadamente 5.6 voltos, debido a que el diodo por especificación es de 5.6 voltos, este voltaje es constante y se aplica a la base de los transistores (Q7, Q8, Q9), y conjuntamente que el emisor está conectado a voltaje, este arreglo se comporta como si fuera una fuente de corriente constante independientemente de lo que tenga conectado en su colector.

El hecho de tener una fuente constante es para que el capacitor (C_{15}) se cargue linealmente, cuando (O_4) se encuentra en el estado de corte, todo lo anterior se puede observar en la gráfica 4, la rampa que se genera con switcheo del transistor (O_4) y la generación de corriente constante (O_7) que cargará al capacitor (C_{15}).

Con el análisis siguiente nos podemos dar cuenta, de como es que se genere la rampa en el capacitor, cuando el transistor (O_4) se encuentra en corte.

Tenemos:

$$V = Kt$$

$$V_C = \frac{1}{C} \int idt$$

$$K = \left(\frac{\text{Volts}}{\text{Tiempo}} \right)$$

Si sabemos que la corriente es constante puede salir de la integral:

$$kt = \frac{I}{C} \int dt$$

$$= \frac{I}{C} t$$

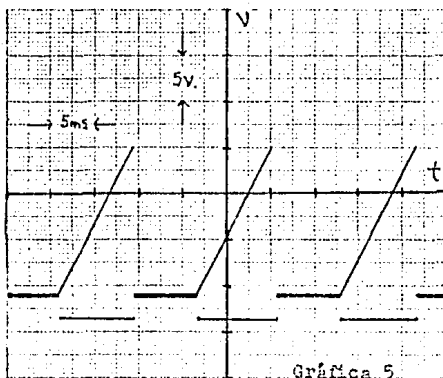
$$\frac{I}{t} = \frac{C}{C}$$

$$E = \frac{L}{C}$$

Esta constante es la que da la pendiente con la que se carga el capacitor; esta pendiente está determinada por el valor del capacitor, es decir, variará su angulo según varíe la capacitancia.

Como se puede observar en la gráfica 5 cuando Q4 conduce, el capacitor está completamente descargado a través del mismo transistor; y sólo se observan los -11 voltios de referencia del transistor. Ahora cuando Q4 está en corte todo la corriente generada por Q7 se queda en el capacitor (C15), cargándolo linealmente, con lo anterior se genera una rampa que irá conectada a la entrada inversora del comparador U6.

Hay que recordar que esto mismo sucede para las tres fases, pero las rampas están desfasadas 120° entre si.



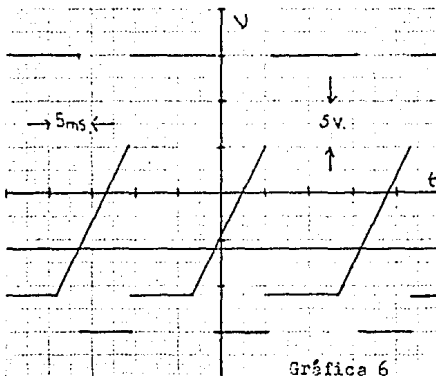
Gráfica 5.

El proceso anterior de la construcción de la rampa se repite indeterminadamente, y como se sabe es generada y controlada por el swicheo de (Q4, Q5, Q6), los cuales a su vez son controlados por los pulsos del circuito sensor.

Analizando ahora la parte del comparador (ver apendice A) a la entrada inversora llega la señal de rampa, mientras que a la no inversora llega un voltaje lineal del regulador, mismo que se analiza en el capítulo III.

Por el funcionamiento interno del comparador, este detecta los cruces de la rampa con el voltaje del

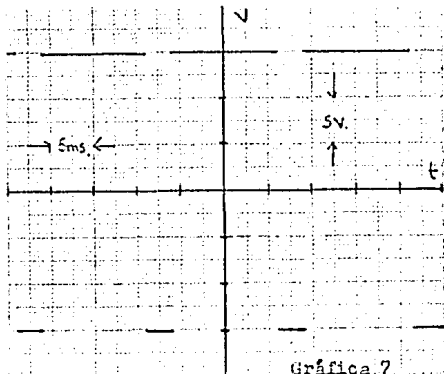
regulador, dandolemos pulsos de diferente tiempo, pero que oscilan entre $+V_{sat}$ y $-V_{sat}$ voltaje propio del circuito integrado, como se observa en la gráfica 6. los cruces son detectados por el comparador y varia su voltaje de +15 volts a -15 volts, la duración del pulso estaría determinada según el nivel de voltaje que se mantenga en el regulador.



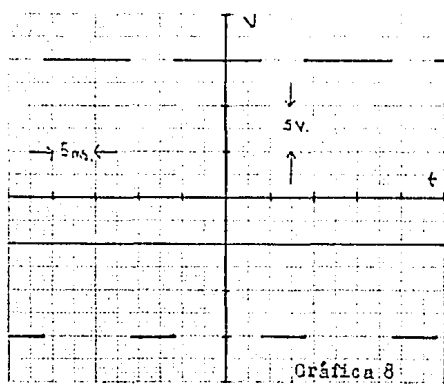
Los pulsos generados en el comparador van al circuito manejador, que a su vez manda una señal de disparo al gatillo del scr variando el Ángulo de conducción y por supuesto el valor del voltaje efectivo de directa.

Los pulsos del circuito de tiempo pueden variar dependiendo de la velocidad del motor, es decir, a través del nivel de voltaje que se mantiene en el regulador se puede controlar el tiempo de duración del pulso, como se observa en las gráficas 7 y 8.

En si el funcionamiento del circuito es el de controlar el ángulo del disparo del scr para el Ángulo de conducción, a través de una rampa constante generada; y un voltaje lineal, que aumenta o disminuye y que es controlado por el circuito regulador, el cual se analiza en el siguiente capítulo.



Gráfica 7



Gráfica 8

C A P I T U L O III

CIRCUITO REGULADOR

El tercer capítulo o desarrollo engloba el funcionamiento del circuito llamado regulador, el cual tiene como trabajo principal, la conservación del valor del voltaje de corriente directa del semiconvertidor, con el voltaje de control del circuito controlador de pendientes; y ajusta el circuito de control de la señal de tiempo, para obtener el valor correcto del voltaje de directa, todo esto lo realiza con ayuda de un amplificador operacional que actúa como comparador (ver Apéndice A).

El amp-op compara en la entrada inversora la señal del circuito controlador de pendiente, con una señal que llega a la entrada no inversora que proviene del semiconvertidor.

Como se puede observar, este circuito depende principalmente para su funcionamiento de otros dos circuitos: el semiconvertidor y el controlador de pendientes, y a su vez alimenta con su salida el circuito de tiempo.

La señal que tenemos a la salida del comparador es una de directa que sube o baja su valor dependiendo de las condiciones de trabajo, esta señal sirve para variar los pulsos con el cruce de la rampa, para variar los disparos del scr como se explicó en el capítulo anterior.

La figura 5 nos ilustra claramente el diagrama completo del circuito regulador (ver recuadro), como los demás este circuito se construye en una tablita de pruebas, y ya que se obtuvieron los resultados deseados se paso al diseño del impreso.

El impreso fue construido mediante el procedimiento que se describe en el apéndice D; y se puede observar en el recuadro de la figura 6.

Todos los componentes electrónicos que constituyen el circuito se enumeran a continuación, las especificaciones de sustitutos ECG y de algunos componentes importantes se encuentran enumerados en el apéndice C.

FIGURA 5

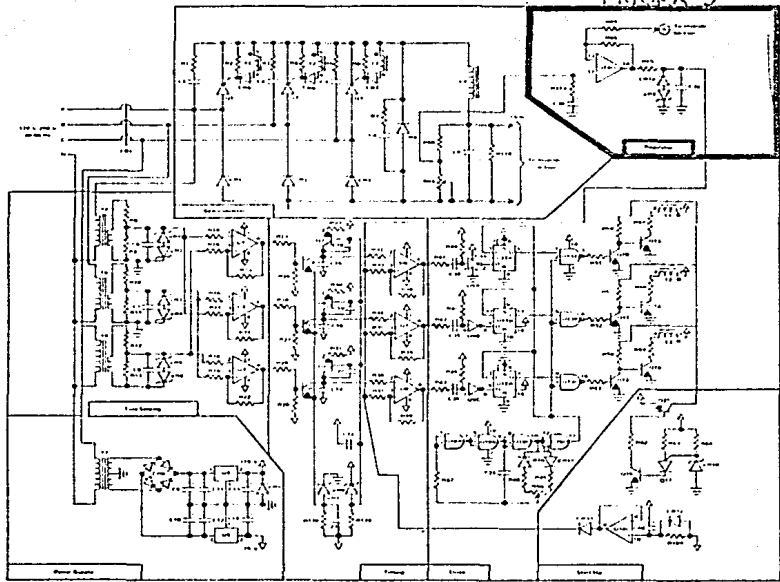
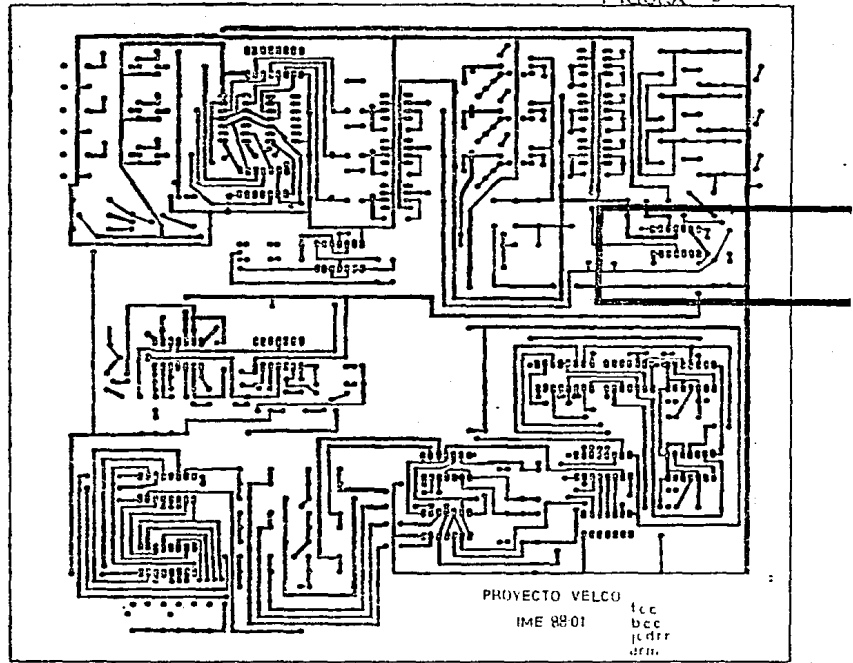


FIGURA 6



COMPONENTES BASICOS DEL
CIRCUITO REGULADOR.

- * UN CIRCUITO INTEGRADO
MC 3403 P (U14 D).
- * UN DIODO ZENER IN4739
9.1 V, 1 W (V R9).
- * UN DIODO DE SILICIO IN9101
O IN914 (C R12).
- * UN CAPACITOR DE $100 \mu F$, 25 V
ELECTROLITICO (C58).
- * UN CAPACITOR DE $0.000 \mu F$,
(C79).
- * TRES RESISTENCIAS DE 100Ω
(R55, R65, R66).
- * UNA RESISTENCIA DE 1Ω
(R113).

F U N C I O N A M I E N T O

En este capítulo se estudia el circuito regulador, cuya finalidad principal es la de servir de retroalimentación, entre la señal de voltaje a la salida en el puente inversor, con la señal de voltaje que se encuentra en el semiconvertidor.

Este es, para obtener un valor correcto de voltaje en el bus de corriente directa, el regulador manda una señal de control al circuito de tiempo estudiado en el capítulo II, el cual controla a través del manejador la cantidad de voltaje del semiconvertidor.

El semiconvertidor tiene como finalidad principal la conversión del voltaje de alterna en una directa, a través de un rectificador de onda completa, constituido por tres series y tres diodos, además de utilizar una inductancia y una capacitancia de alto valor, para que la señal sea completamente directa y eliminar completamente cualquier rizo.

Con el regulador, se puede obtener un valor correcto de voltaje en el bus de corriente directa del semiconvertidor, con un valor constante determinado por la salida del circuito control de pendientes.

El circuito control de pendientes, tiene a su cargo las máximas aceleraciones y desaceleraciones del voltaje de excitación y la frecuencia de mando, este circuito controla el voltaje del bus de corriente directa y simultáneamente la frecuencia de mando del motor.

El circuito regulador tiene la capacidad de variar el nivel de voltaje que trae la rampa, la cual se estudió en el capítulo anterior, el cambio del nivel de voltaje se hace para que los cruces con la rampa varíen, y como actúa como comparador en el circuito de tiempo, variarán los pulsos a la salida del mismo y por consiguiente existirá una variación directa en los disparos de los gatillos de los series, los que a su vez

controlan todo en ángulo de conducción de voltaje en el semiconvertidor.

Por otra parte, al ser cargado el sistema en general, la salida de voltaje de corriente directa que alimenta al puente inversor de los seis arreglos de transistores, puede variar con ángulos de conducción más pequeños, entonces es cuando entra en funcionamiento el circuito regulador, que nos sirve para comparar este voltaje en el semiconvertidor con el voltaje que tenemos en el circuito control dependientes, entonces el circuito al detectar esta variación, por medio de la comparación manda una señal de control, con la cual se moverá el nivel de voltaje en la comparación con la rampa en el circuito de tiempo, esto hará que los pulsos a la salida cambien el valor de su frecuencia y por consiguiente el ángulo de conducción de los SCR's, obteniendo un valor de voltaje correcto.

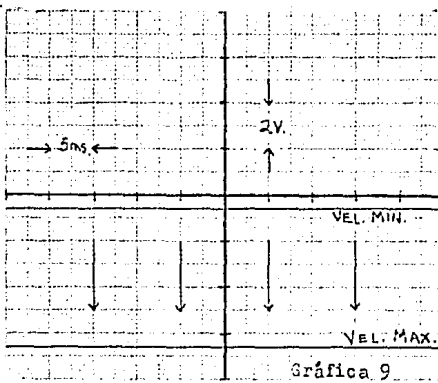
Por otra parte, cuando variemos la velocidad con el potenciómetro que se encuentre en el circuito control de pendientes, este manda una señal al comparador, el cual lo toma como una diferencia de voltaje en el regulador, por lo cual tenemos a la salida del amplificador operacional un cambio en el nivel de voltaje, este cambio varía aproximadamente seis volts, teniendo a velocidad mínima un voltaje más positivo, y a medida que variemos el potenciómetro

hacia la velocidad mínima la referencia se hace cada vez más negativa, como se observa en las gráficas 9 y 10.

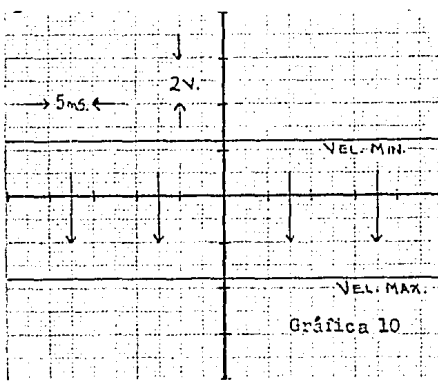
Analizando esta variación de seis voltios, depende también de un ajuste que se encuentra en el semiconvertidor llamado ajuste fino, el cual determina un rango de máxima y mínima señal de voltaje de directa en el puente inversor, dependiendo de donde se encuentre este ajuste, servirá también como referencia el cambio del nivel de voltaje del regulador, esto es, que los seis voltios de variación de velocidad mínima y máxima también son determinados por este potenciómetro, lo anterior se puede observar en las gráficas 11 y 12.

Con esto ya podemos ver cuanta del amplio rango de pulsos que podemos controlar a la salida del circuito de tiempo, y con esto de todo el rango de velocidad y voltaje que puede manejar el diseño.

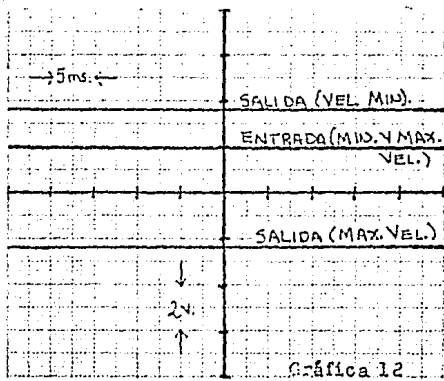
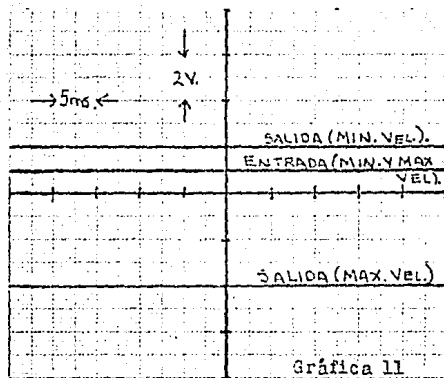
El nivel de voltaje del regulador varía directamente con la velocidad, a menor velocidad tenemos un nivel alto de voltaje y a medida que aumentamos la velocidad este nivel baja, cortando sólo en la parte de la rampa, con lo que obtendremos variación de los pulsos.



Gráfica 9



Gráfica 10



La variación de los pulsos que disparan a los diodos controlados del semiconvertidor están controlados por la velocidad, es decir, al aumentar la velocidad de los pulsos en $-V_{sat}$ aumentan, mientras que los de $+V_{sat}$ disminuyen y viceversa.

Por todo lo antes mencionado este circuito es importante para retroalimentar todo el funcionamiento del sistema de control y potencia, que determine todas las variaciones de voltaje y frecuencia.

C A P I T U L O IV

C O N C L U S I O N E S

El trabajo que se desarrollo en los capítulos anteriores fue el que correspondió a la etapa de control, con la cual tendremos todas las variaciones posibles y alternativas del diseño.

El diseño en general tiene muchos problemas para su realización, considerando como problema la búsqueda de todos los componentes de que está formado, nos encontramos que en el país no existen algunos de ellos como son: los transistores de potencia del puente inversor; el capacitor que sirve de filtro en el semiconvertidor, así como la inductancia; los transformadores del circuito sensor, los cuales se tuvieron que mandar construir en forma especial.

Algunos de estos componentes y accesorios fueron conseguidos en el extranjero, otros fueron realizados manualmente por nosotros y otros más se mandaron construir sobre pedido.

Otros de los principales problemas fue el diseño de las tabletas donde iban a ir colocados los componentes, se estudió mucho la forma de acomodarlos y conectarlos, además que en la realización del impresor tuvimos muchos contratiempos por la falta de experiencia.

Tambien hay que tomar en cuenta que el trabajar con circuitos CMOS es un verdadero problema, principalmente por la baja resistencia que tienen y pueden ser detectas por la electricidad del cuerpo, para esto todos los circuitos de este tipo fueron montados sobre bases que primero soldadas a unas tabletas. Otras de las cosas de estos circuitos es, que las componentes que no son utilizadas dentro del chip tienen que ser esterilizadas, para que no afecten las señales de control.

Por otra parte el diseño pedía cierta tolerancia en exactitud de los valores de algunas resistencias principalmente, y nos tuvimos que conformar con hacer varias mediciones, y la resistencia que tuviera menor porcentaje de error era la que iban a utilizar, en cuanto a la potencia de las mismas es la especificada para todos los casos.

En ocasiones no encontrábamos los valores exactos de algunos componentes, como capacitores y resistencias, y tuvimos que recurrir a la combinación de serie y paralelo, para con esto poder dar el valor necesario en el circuito del diseño.

Por otra parte tambien constituyó un problema los dissipadores de la etapa de potencia, los cuales se

tuvieron que conseguir en el laboratorio de electrónica.

Estos son algunos de los problemas e inconvenientes con los que nos encontramos en la realización del proyecto, pero fueron resueltos con gran eficiencia.

Los cambios posibles que se pudieran tener en el proyecto, se engloban principalmente en la obtención de los componentes y dispositivos óptimos que se especifican, en cuanto a diseño todo se encuentra en buenas condiciones y fue pensado como la mejor alternativa posible y de eso no cabe la menor duda.

A P E N D I C E A.

COMPARADORES.

Un comparador, es un amplificador operacional que analiza una señal de voltaje en una de las entradas, ya sea la inversora o la no inversora, con otra señal de voltaje de referencia en la entrada que mantiene completamente libre.

Para nuestro estudio a tratar las señales de entrada pueden ser sencillas (capítulo I), o simplemente la comparación entre señales diferentes, como una rampa con una señal de voltaje de directa (capítulo II).

El amplificador operacional tiene como finalidad detectar el cruce de ambas señales, independientemente de cual su forma, cuando hay un cruce entre las señales que se compararon, el amplificador cambia su estado de +V saturación a -V saturación en cada uno de los cruces, es decir, si su estado está en +Vsat y existe un cruce en las señales de entrada, en ese instante la salida cambia a -Vsat y viceversa.

En las gráficas de los capítulos I y II se puede ver cuál es el trabajo del amplificador operacional, y como es que cambian los pulsos a la salida variando los cruces de las señales de entrada.

1N4765 thru 1N4784
See Page 4-46

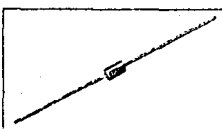


MOTOROLA
1N5241

**1N5221
thru
1N5272**

GLASS ZENER DIODES

500 MILLIWATTS
24-110 VOLTS



***MAXIMUM RATINGS**

Rating	Symbol	Value	Unit
DC Power Dissipation @ $T_2 = 75^\circ\text{C}$	P_D	5.00	mW
Lead Length = 3.8"		5.0	mm
Dielectric Strength @ $T_2 = 150^\circ\text{C}$		40	VDC

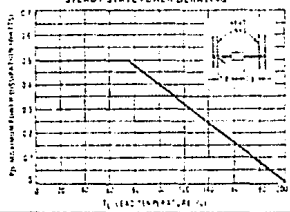
*Data sheet JEDEC Register #2 Data

**See 1N5270 thru 1N5271 for devices > 110 vdc.

MECHANICAL CHARACTERISTICS

CASE: COUPLED LEAD, THERMALLY ALUMINUM
MAXIMUM LEAD TEMPERATURE FOR SOLDERING PURPOSES: 230 $^\circ\text{C}$
1.16 INCH LENGTH TO LEAD TIP
FINISH: ALL EXPOSED SURFACE EXCEPT ON LEAD ARE ALUMINUM VITROGRAPHIC
POLARITY: CATHODE INDICATED BY 10 OF RADIAL WHEN CONNECTED IN ZENER MODE.
CAPACITANCE: 20 PF MAX AT 100 KHz REFERRED TO 50 Ω
MOUNTING POSITION: Any

STEADY STATE POWER DERATING



ELECTRICAL CHARACTERISTICS

$T_A = 25^\circ\text{C}$ unless otherwise noted. Based on dc measurements at thermal equilibrium, lead length = 3.8", thermal resistance of test site = 30°C/W ($V_D = 1.1$ max if $I_D = 200$ mA for all units).

JEDEC Type No. (Note 3)	Nominal Zener Voltage V_Z @ I_ZT Volts (Note 2)	Test Current I_ZT mA	Max Zener Impedance A and B Suffix only $Z_{ZT} @ I_ZT$ Ohms	Max Reverse Leakage Current				Max Zener Voltage Temperature Coeff. (A and B Suffix only) $\Delta V_Z (%) / ^\circ\text{C}$ (Note 3)	
				At $V_Z = 0.7\text{V}$		At $V_Z = 0.8\text{V}$			
				A mA	B mA	mA Volts	mA Volts		
1N5221	14	20	30	1200	100	0.95	1.0	-0.035	
1N5222	15	20	30	1250	100	0.95	1.0	-0.045	
1N5223	17	20	30	1310	75	0.95	1.0	-0.053	
1N5224	18	20	30	1400	75	0.95	1.0	-0.063	
1N5225	19	20	29	1600	75	0.95	1.0	-0.075	
1N5226	23	20	28	1600	25	0.95	1.0	-0.070	
1N5227	26	20	24	1100	15	0.95	1.0	-0.065	
1N5228	29	20	23	1900	12	0.95	1.0	-0.063	
1N5229	43	20	22	2500	50	0.95	1.0	-0.058	
1N5230	47	22	19	1000	50	1.9	2.0	-0.032	
1N5231	51	22	17	1000	50	1.9	2.0	-0.030	
1N5232	56	25	11	1000	50	2.9	3.0	-0.038	
1N5233	62	22	72	1000	50	3.3	3.5	-0.033	
1N5234	62	20	70	1000	50	3.8	4.0	-0.041	
1N5235	68	22	50	1000	30	4.8	5.0	-0.050	
1N5236	75	25	60	500	30	5.7	6.0	-0.053	
1N5237	92	25	60	500	30	6.2	6.5	-0.063	
1N5238	87	25	60	500	30	6.2	6.5	-0.065	
1N5239	91	25	47	500	30	8.7	9.0	-0.063	
1N5240	10	25	17	500	30	1.9	2.0	-0.075	
1N5241	11	20	20	500	120	0.6	1.0	+0.1%	
1N5242	14	20	20	500	120	2.7	3.1	+0.11	
1N5243	13	55	13	500	0.1	24	22	-0.073	
1N5244	14	92	15	600	0.1	25	10	-0.082	
1N5245	15	25	16	600	0.1	105	11	-0.072	
1N5246	16	25	17	600	0.1	114	12	-0.072	
1N5247	17	13	19	600	0.1	124	13	-0.074	
1N5248	19	13	21	600	0.1	133	14	-0.065	
1N5249	19	85	20	600	0.1	133	14	-0.116	
1N5250	20	67	20	600	0.1	143	15	-0.066	
1N5251	22	56	29	600	0.1	162	17	-0.067	
1N5252	24	57	23	600	0.1	171	18	-0.068	
1N5253	25	10	35	600	0.1	181	15	-0.063	
1N5254	27	46	41	600	0.1	20	21	-0.090	
1N5255	28	45	44	600	0.1	20	21	-0.091	
1N5256	35	42	49	600	0.1	22	22	-0.161	
1N5257	33	58	52	700	0.1	24	25	-0.092	
1N5258	36	24	70	700	0.1	26	27	-0.093	
1N5259	39	21	50	800	0.1	29	29	-0.094	
1N5260	42	20	52	900	0.1	31	33	-0.095	
1N5261	47	27	103	1000	0.1	34	36	-0.195	
1N5262	51	25	121	1000	0.1	37	39	-0.098	
1N5263	56	22	150	1000	0.1	41	43	-0.096	
1N5264	60	21	172	1400	0.1	44	46	-0.097	
1N5265	65	22	165	1400	0.1	45	47	-0.097	
1N5266	68	16	215	1500	0.1	49	52	-0.097	
1N5267	75	17	212	1700	0.1	53	56	-0.098	
1N5268	82	15	355	2500	0.1	59	62	-0.098	
1N5269	87	14	375	2500	0.1	65	68	-0.099	
1N5270	91	14	400	2500	0.1	66	69	-0.099	
1N5271	100	13	500	2600	0.1	72	76	-0.110	
1N5272	110	11	753	3000	0.1	83	84	-0.110	

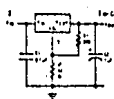
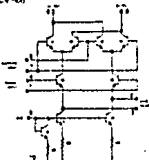
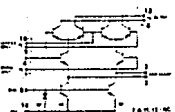
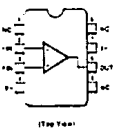
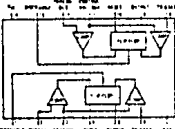
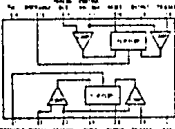
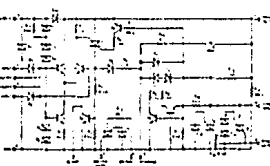
NOTE 1. Tolerance = The JEDEC part numbers shown indicate a tolerance of $\pm 12\%$ with guaranteed limits on I_{ZT} , V_Z , I_A and V_D as shown in the electrical characteristics table. Units will guarantee

NOTE 2. Special Selections* Available include:

1. Terminal rated voltages between those shown.

2. Two or more units for series connection with specified

Linear IC and Module Circuits (cont'd) MLH 301 API

ECC870 10-Pin SOT Fig. L11 Pin VR, 1.2 to 33 V, 3 A	ECC871 8-Pin DIP Fig. L12A Page 1-122	ECC872 8-Pin DIP Fig. L12B Page 1-122	ECC873 Balanced Mod. Demod. 10-Pin DIP Fig. L17
 <p>$W_{VOUT} = 1.2(V_+ - V_-)$</p>			
ECC870 14-Pin DIP Fig. L104 Balanced Mod. Demod.	ECC874 14-Pin DIP Fig. L104 Phase Frequency Detector	ECC875 8-Pin DIP Fig. L106 ECC875M 8-Pin DIP Fig. L106 Op Amp. Intensity Compensated Supply Voltage ± 18 V Max.	
			
ECC876 8-Pin DIP Fig. L107 Op Amp. Intensity Compensated Supply Voltage ± 18 V Max.	ECC877 See ECC850 Page 1-128	ECC878 ECC878M 14-Pin SC C-Sop Fig. L108 Op-Timing Circuit	ECC879 ECC879C 14-Pin DIP Fig. L104 Op-Low Power Timer Circuit CMOS Circuit
			
ECC878 Zero Crossing Trigger			ECC879 16-Pin DIP Fig. L109
			

A P E N D I C E B

RETROALIMENTACION POSITIVA.

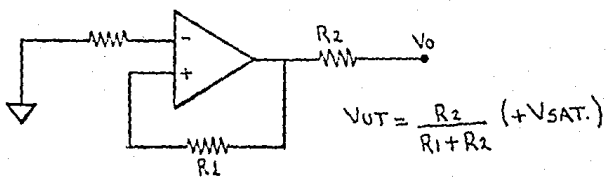
Para nuestro estudio hay que considerar la retroalimentación positiva, porque el comprador que se está usando utiliza esta técnica para evitar considerablemente el ruido, y además poder tener un funcionamiento adecuado.

El ocam tiene una resistencia de retroalimentación (R20, R21, R22), y esta conectada de salida a la entrada no inversora del mismo, es por eso que se le da el nombre de retroalimentación positiva.

El amplificador operacional no puede trabajar correctamente si este presente el ruido en cualquiera de sus entradas, con la retroalimentación no se elimina el ruido, pero hace que el ocam responda menos a él; para nuestro análisis sin la retroalimentación positiva se tendrían pulsos falsos en cada cruce de las señales senoidales, donde se encuentra presente el ruido.

El proceso es simple, se toma una pequeña parte de voltaje de la salida y se realimenta a la entrada positiva y crea un voltaje de referencia, que depende del voltaje que se encuentra a la salida.

Cuando se tiene un voltaje a la salida de $+V_{SAT}$, el voltaje de retroalimentación se llama voltaje umbral superior (V_{UT}) figura d-3 A, y se obtiene mediante un divisor de voltajes:



Para valores de voltaje a la entrada bajo de V_{UT} , el voltaje en la entrada positiva es mayor que el de la negativa, por lo tanto, Vo está fijado en $+V_{SAT}$, porque la polaridad de la terminal de salida es la misma que la de entrada no inversora.

Si Ed se hace ligeramente más positivo que V_{UT} , la polaridad de Ed se invierte y Vo empieza a disminuir, cuando a Vo le sucede esto Ed se vuelve más grande y Vo cae con rapidez a $-V_{SAT}$, lo anterior se puede ver en la figura siguiente:

Cap. 4 Comparadores

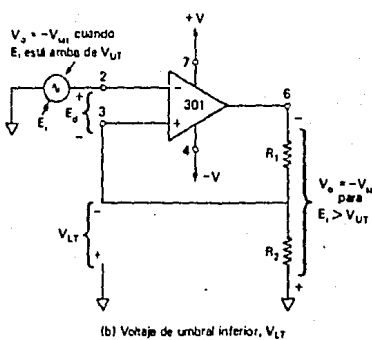
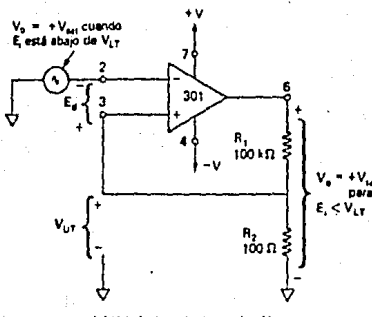


Figura 4-3 R_1 y R_2 realizan un voltaje de referencia de la salida a la terminal (+) de entrada.

Ahora si Vc està fijado en -Vsat, y el voltaje retroalimentado se llama voltaje umbral inferior (VLT) figura 4-3 (b), y esta dado tambien por un divisor de voltajes:

$$VLT = \frac{R_2}{R_1 + R_2} (-Vsat)$$

Se observa que VLT es negativo con respecto a tierra, por lo tanto Vo permanecerà en -Vsat, en tanto que El este arriba o positivo con respecto a VLT, Vo cambiara regresando a +Vsat, si El se vuelve más negativo que o abajo de VLT.

Se tiene que la retroalimentacion positiva hace que cambie un comparador con mucha rapidez de un límite a otro, pero hay que considerar que si los voltajes umbral son más grandes que los voltajes pico del ruido la retroalimentacion funciona, en caso contrario existirán cambios falsos en los pulsos de salida.

MPS-A20

Transistors (cont'd) (Maximum Ratings at $T_c = 25^\circ\text{C}$ Unless Otherwise Noted)

ECG Type	Description and Application	Collector To Case V _{DCB}	Collector To Emitter V _{DEC}	Base To Emitter V _{BED}	Max Collector Current I _{Cmax}	Max Power Dissip. P _{dm}	Freq. in MHz f _L	Current Gain Beta h _f	Package
ECG017	PNP Si. Uni. VHF Amp. Or M. F. Amp.	30	35	5	57 mA	70 mW	100 MHz	10.10	"14
ECG018	PNP Si. RF or VHF Amp. Or. M. VHF Lmtr.	30	—	2	47 mA	80 mW	25 MHz	10.10	"14
ECG019	PNP. Or. AF Power Output	60	—	45 (CER)	15	70	—	—	—
ECG019MP	—	—	—	—	—	—	—	—	—
ECG020	PNP Si. AF Preamp. Driver Video And Sync. Gen.	80	30	5	8	90	25	150 mW	TO-26
ECG020A	PNP Si. AF RF Amp. Or. Sync. Gen.	75	—	40	4	55	200	25 mW	TO-18
ECG124P	PNP Si. AF VHF. Unif. Curto. To ECG015	70	—	—	—	—	250	10.10	"14
ECG125	PNP Si. AF VHF. Unif. Or. Sync. Gen.	30	35	5	15	30	—	1.4 mW	TO-10
ECG126A	PNP. Ga. RF. Or. And. Col. Unif.	15	—	3	57 mA	30	—	40 mW	TO-14
ECG127	PNP Or. H. F. Or. VHF Det. Or. Curto.	20	—	20 (CER)	2	10	—	—	—
ECG128	PNP Si. AF Preamp. Driver. Output. VHF Amp. Or. Curto. To ECG129	120	80	2	1	1	—	50 mW	TO-10
ECG129	PNP Si. Gen. Pur. Amp. Or. Curto. To ECG128	120	80	2	1	1	100	100 mW	TO-21
ECG129B	PNP Si. AF Preamp. Driver. Output. VHF Amp. Or. Curto.	120	80	2	1	1	—	—	—
ECG130P	PNP. Or. Curto. Or. Col. Or. Sync. Gen.	90	80	2	1	1	100	50 mW	TO-26
ECG131P	PNP. Si. Gen. Pur. Amp. Or. Curto. To ECG130P	90	80	2	1	1	100	50 mW	TO-21
ECG132	PNP. Si. AF. Or. Curto.	20	40	5	15	150	—	40 mW	TO-3
ECG132MP	Curto. Or. ECG131	—	—	—	—	—	—	—	—
ECG133	PNP. Or. AF. Or. Power Output	—	20	—	20 mA	—	—	110 mW	TO-3
ECG133MP	Curto. Or. ECG131	—	—	—	—	—	—	—	—
ECG134	PNP Si. AF. Or. Power Output	90	40	5	7	50	10	80 mW	TO-26
ECG134MP	Curto. Or. ECG133	—	—	—	—	—	—	—	—
ECG135	PNP. Si. AF. Or. Power Output Or. Curto.	60	60	5	7	50	10	80 mW	TO-21
ECG136P	PNP. Si. VHF. Or. Output. Or. Sync. Gen.	30	35	7	5	75	70	60 mW	TO-36
ECG137	PNP. Si. AF. Or. Power Output Or. Curto. To ECG131	30	35	7	5	75	—	110 mW	TO-8
ECG138	PNP Si. Si. AF. Or. Amp. Or. Curto. To ECG131	30	35	7	5	75	—	30 mW	TO-26
ECG139	PNP. Or. AF. Or. Amp.	30	—	32	—	11	15	25 mW	TO-3
ECG139MP	Curto. Or. ECG138	—	—	—	—	—	—	—	—
ECG140	PNP. Or. AF. Or. Amp. Si. Curto. To ECG133P. Or. Sync. Gen. ECG133P. Or. Sync. Gen. ECG134P	80	80	5	7	80	200	100 mW	TO-32
ECG141	PNP. Or. AF. Or. Out. V. A.	20	25	5	12 mA	20	—	25 mW	TO-12
ECG141B	PNP. Si. V. M. Or. A.	—	45 (CES)	45	50 mA	—	—	40 mW	TO-12

Notes: 1. M. = Matched.

2. Frequency of operation is determined by the value of the load resistor R_L.

3. Other ratings apply to ECG131, ECG132, ECG133, ECG134, ECG135, ECG136, ECG137, ECG138, ECG139, ECG140, ECG141 and ECG141B.

Forward Current - See Page 17.

HPS-A20

Transistor Outlines (cont'd)

Fig. T11 TO-92	Fig. T12 TO-92	Fig. T14 TO-94M ECQ (B)	Fig. T15 TO-94 ECQ T12A NPN
Fig. T16 TO-92	Fig. T17 TO-92	Fig. T18 TO-92 TO-94 TO-94M ECQ (B)	Fig. T19 TO-92 TO-94 TO-94M ECQ (B)
Fig. T20 TO-92	Fig. T21 TO-92	Fig. T22 TO-92	Fig. T23 TO-92
A: According to Fig. T14 B: According to Fig. T15 C: D & S interchange			

2N3906

Transistors (cont'd) (Maximum Ratings at $T_c = 25^\circ\text{C}$ Unless Otherwise Noted)

ECG Type	Description and Application	Collector Voltage, V _{CCQ}	Collector Current, I _C	Base-to-Emitter Voltage, V _{BECQ}	Max Forward Current IC (mA)	Max Forward Drop V _{CE} (Volts)	Max Forward Power P _{FM} (Watt)	Forward Breakdown Voltage V _{BR} (Volts)	Reverse		
									Max Reverse Current I _R (mA)	Max Reverse Power P _{RR} (Watt)	
ECG107	NPN S- Uni-VHF Amp. Out. M- P-Amp	25	30	5	50 mA	7.5 - 8.0	800 mW	70 VDC	10 mA	116	
ECG110	NPN S- AF/VHF Video Amp	25	15	7	40 mA	8.0	800 mW	20 VDC	10 mA	116	
ECG121	PNP Ge AF/P-Amp Output	45	45	CE101	10	7.0	35	22.4 mA	80 mW	10.3	123
ECG123P	NPN S- AF/P-Amp Driver	15	20	5	80 mA	7.5 - 8.0	250	180 VDC	10 mA	116	
ECG124A	NPN S- AF/VHF Amp. Out.	25	45	6	80 mA	7.5 - 8.0	300	250 mW	10 mA	116	
ECG124P	NPN S- AF/VHF Amp. Driver Comp to ECG123A	25	45	6	80 mA	7.5 - 8.0	300	250 mW	10 mA	116	
ECG125A	NPN S- M-Filter, Var. Oscill.	25	30	5	150	7.5	20	20 VDC	10 mA	125	
ECG126A	NPN Ge RF/P-Amp. Out. M-Filter	15	15	5	50 mA	7.5 - 8.0	250	40 VDC	10 mA	116	
ECG127	NPN Ge Hetero & Var. Det. P-Amp Output	25	25	CE101	2	15	40	1	15 mA	116	
ECG128	NPN S- AF Preamp Driver Output, Video Amp Comp to ECG129	100	80	7	1	7.5 - 8.0	120	20 mW	10 mA	116	
ECG129A	NPN S- Gen Purp Amp. S- Comp to ECG129P	100	80	7	1	7.5 - 8.0	120	100 mW	10 mA	116	
ECG130	NPN S- AF Preamp Driver Output, Video Amp Comp to ECG129	100	80	7	1	7.5 - 8.0	120	10 mA	10 mA	116	
ECG130P	Matched Control Pair Contains one each ECG129 (NPN) and ECG129 (PNP)	30	30	7	1	7.5 - 8.0	120	10 mA	10 mA	116	
ECG130P	NPN S- Gen Purp Amp. S- Comp to ECG129P	80	80	7	1	7.5 - 8.0	150	100 mW	10 mA	116	
ECG131	NPN S- AF P-Amp Comp to ECG129	100	80	7	15	7.5	300	40 mW	10 mA	116	
ECG131P	NPN S- AF P-Amp Output Comp to ECG129	30	25	12	2.0 mA	7.5 - 8.0	1	110 VDC	10 mA	116	
ECG132	NPN S- AF P-Amp Output Comp to ECG129	60	60	5	7	50	10	60 mA	10 mA	116	
ECG132P	NPN S- AF P-Amp Output Comp to ECG129 Matched Control Pair Contains one each ECG129 (NPN) and ECG129 (PNP)	60	60	5	7	50	10	60 mA	10 mA	116	
ECG133	NPN S- Video Output Amp	30	30	7	5	7.5 - 8.0	40	50 mW	10 mA	116	
ECG134	NPN S- AF P-Amp Comp to ECG131	30	25	10	2.0 mA	7.5	1	110 VDC	10 mA	116	
ECG135	NPN S- HV AF P-Amp Comp to EC281	25	25	5	7.0	10	30 mA	10 mA	10 mA	116	
ECG136	PNP Ge AF P-Amp	25	25	12	7.0	10	1.5	10 mA	10 mA	116	
ECG137	NPN S- AF P-Amp Driver Output, Video Amp Matched Control Pair Contains one each ECG122A (NPN) and ECG122B (PNP)	90	80	5	1	400	210	100 mW	10 mA	116	
ECG138	NPN S- AF P-Amp. Out. M-Filter	25	25	CE101	5	12 mA	12.0	120 mW	10 mA	116	
ECG139	NPN S- Video Amp	45	45	CE101	4.5	50 mA	7.5 - 8.0	80	50 mW	10 mA	116

Note: NPN = N-Channel

* All ratings are at ambient temperature, current drain of 10.0 mA, and 25°C junction temp.

** Reverse current is determined by 100 mW reverse power dissipation.

Passage Outlines - See Page 1-76

Transistor Outlines (cont'd)

2N3906

TG 1151 SC 42 ECO TO-106 	TG 1152 SC 43 ECO TO-106 	TG 116 SC 44 ECO TO-106 	TG 118 SC 45 ECO TO-106
TG 119 SC 46 ECO TO-106 	TG 120 SC 47 ECO TO-106 	TG 121 SC 48 ECO TO-106 	TG 122 SC 49 ECO TO-106
TG 123 SC 50 ECO TO-106 	TG 124 SC 51 ECO TO-106 	TG 125 SC 52 ECO TO-106 	TG 126 SC 53 ECO TO-106
TG 127 SC 54 ECO TO-106 	TG 128 SC 55 ECO TO-106 	TG 129 SC 56 ECO TO-106 	TG 130 SC 57 ECO TO-106

Zener Diodes

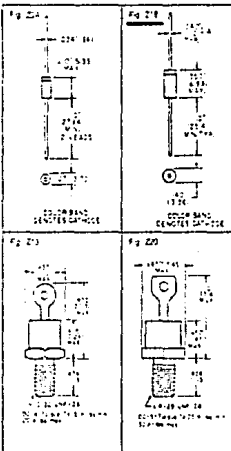
11 Watt and 50 Watt Zeners. These have been designed to meet Army Spec. MIL-R-2374C. Check catalog for other types and voltages. Order by part number and quantity. Be sure to state voltage.



Voltage Volts	Amm. Limit		Slew Rate	
	Fig No 22a		DC 4	DC 5
	1/2 Watt	1 Watt	5 Watt	10 Watt / 50 Watt
2.4	ECC501A	—	—	—
3.4	ECC502A	—	—	—
4.3	ECC503A	—	—	—
5.4	ECC504A	—	—	—
6.3	ECC505A	—	—	—
7.5	ECC506A	ECC511A	—	—
8.2	ECC507A	ECC512A	—	—
9.1	ECC508A	ECC513A	—	—
10.2	ECC509A	ECC514A	—	—
11.3	ECC510A	ECC515A	—	—
12.5	ECC511A	ECC516A	—	—
13.8	ECC512A	ECC517A	—	—
15.4	ECC513A	ECC518A	—	—
17.0	ECC514A	ECC519A	—	—
18.7	ECC515A	ECC520A	—	—
20.5	ECC516A	ECC521A	—	—
22.4	ECC517A	ECC522A	—	—
24.3	ECC518A	ECC523A	—	—
26.5	ECC519A	ECC524A	—	—
29.0	ECC520A	ECC525A	—	—
32.5	ECC521A	ECC526A	—	—
36.0	ECC522A	ECC527A	—	—
40.0	ECC523A	ECC528A	—	—
44.0	ECC524A	ECC529A	—	—
48.0	ECC525A	ECC530A	—	—
52.0	ECC526A	ECC531A	—	—
56.0	ECC527A	ECC532A	—	—
60.0	ECC528A	ECC533A	—	—
64.0	ECC529A	ECC534A	—	—
68.0	ECC530A	ECC535A	—	—
72.0	ECC531A	ECC536A	—	—
76.0	ECC532A	ECC537A	—	—
80.0	ECC533A	ECC538A	—	—
84.0	ECC534A	ECC539A	—	—
88.0	ECC535A	ECC540A	—	—
92.0	ECC536A	ECC541A	—	—
96.0	ECC537A	ECC542A	—	—
100.0	ECC538A	ECC543A	—	—
112.0	ECC570A	ECC574A	ECC577A	ECC579A
125.0	ECC571A	ECC575A	ECC580A	ECC581A
138.0	ECC572A	ECC576A	ECC582A	ECC583A
152.0	ECC573A	ECC577A	ECC584A	ECC585A
165.0	ECC574A	ECC578A	ECC586A	ECC587A
180.0	ECC575A	ECC579A	ECC588A	ECC589A
195.0	ECC576A	ECC580A	ECC590A	ECC591A
210.0	ECC577A	ECC581A	ECC592A	ECC593A
225.0	ECC578A	ECC582A	ECC594A	ECC595A
240.0	ECC579A	ECC583A	ECC596A	ECC597A
255.0	ECC580A	ECC584A	ECC598A	ECC599A
270.0	ECC581A	ECC585A	ECC600A	ECC601A
285.0	ECC582A	ECC586A	ECC602A	ECC603A
300.0	ECC583A	ECC587A	ECC604A	ECC605A
315.0	ECC584A	ECC588A	ECC606A	ECC607A
330.0	ECC585A	ECC589A	ECC608A	ECC609A
345.0	ECC586A	ECC590A	ECC610A	ECC611A
360.0	ECC587A	ECC591A	ECC612A	ECC613A
375.0	ECC588A	ECC592A	ECC614A	ECC615A
390.0	ECC589A	ECC593A	ECC616A	ECC617A
405.0	ECC590A	ECC594A	ECC618A	ECC619A
420.0	ECC591A	ECC595A	ECC620A	ECC621A
435.0	ECC592A	ECC596A	ECC622A	ECC623A
450.0	ECC593A	ECC597A	ECC624A	ECC625A
465.0	ECC594A	ECC598A	ECC626A	ECC627A
480.0	ECC595A	ECC599A	ECC628A	ECC629A
495.0	ECC596A	ECC600A	ECC630A	ECC631A
510.0	ECC597A	ECC601A	ECC632A	ECC633A
525.0	ECC598A	ECC602A	ECC634A	ECC635A
540.0	ECC599A	ECC603A	ECC636A	ECC637A
555.0	ECC600A	ECC604A	ECC638A	ECC639A

1% Tolerance + 1/2 Watt

Nominal Voltage	Voltage at 1/2-Watt Test Current	Voltage at 50-Watt Test Current	1/2-Watt	
			ECC501A	ECC502A
2.4	2.6	—	—	—
3.4	3.6	—	—	—
4.3	4.6	—	—	—
5.4	5.8	—	—	—
6.3	6.8	—	—	—
7.5	8.0	—	—	—
8.2	8.8	—	—	—
9.1	9.8	—	—	—
10.2	11.0	—	—	—
11.3	12.0	—	—	—



* 20 Tapers
** 1/2 W and 1 W, 5% Tolerance Zeners are supplied 2 per Pg.

1N5333
thru
1N5388



MOTOROLA
105348

GENERAL DESCRIPTION

5.0 WATT SURMETIC 40 SILICON ZENER DIODES (SILICON OXIDE PASSIVATED)

..... a complete series of 5.0 Watt Zener Diodes with tight limits and better operating characteristics that reflect the superior capabilities of silicon-oxide passivated junctions. All this in an axial-lead, transformerized plastic package offering protection in all common environmental conditions.

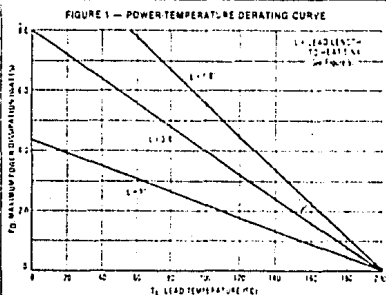
- Up to 160 Watt Surge Rating @ 0.3 ms
- Maximum Limits Guaranteed on Seven Electrical Parameters

MAXIMUM RATINGS

Junction and Storage Temperature -55°C to +200°C
Lead Temperature not less than 115°C from the case for 10 seconds
230°C
DC Power Dissipation 5.0 W at $T_L = 75^\circ\text{C}$, Lead Length = 3.8"
(Derate 40 mW/ $^\circ\text{C}$ above 75°C)

MECHANICAL CHARACTERISTICS

CASE: Void-free, transformerized thermoplastic
FINISH: All external surfaces are corrosion resistant. Leads are
readily solderable.
POLARITY: Cathode indicated by color band. When operated in zener
mode, cathode will be positive with respect to anode.
MOUNTING POSITION: Any
WEIGHT: 0.7 gram (approx.)

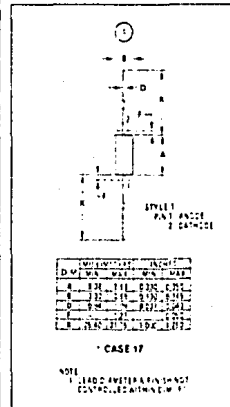
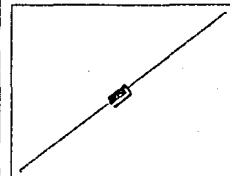


SM3.3Z510 thru SM200Z510
1N5333A thru 1N5338A

SM3.3Z55 thru SM200Z55
1N5333B thru 1N5388B

5.0 WATT ZENER REGULATOR DIODES

33 — 200 VOLTS



Zener Diodes

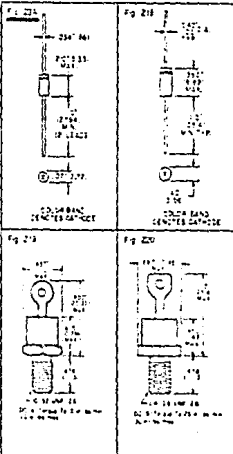
Voltage	Avail. Prod.			SIC MARK
	No 4		201	
	4.5 V	7.5 V	25 V	
4.5	EC0504A			
5.0	EC0505A			
6.0	EC0606A			
7.0	EC0707A			
8.0	EC0808A			
9.0	EC0909A			
10.0	EC1010A			
12.0	EC1212A			
15.0	EC1515A			
18.0	EC1818A			
20.0	EC2020A			
25.0	EC2525A			
30.0	EC3030A			
35.0	EC3535A			
40.0	EC4040A			
45.0	EC4545A			
50.0	EC5050A			
55.0	EC5555A			
60.0	EC6060A			
65.0	EC6565A			
70.0	EC7070A			
75.0	EC7575A			
80.0	EC8080A			
85.0	EC8585A			
90.0	EC9090A			
95.0	EC9595A			
100.0	EC100100A			
120.0	EC120120A			
150.0	EC150150A			
180.0	EC180180A			
200.0	EC200200A			
250.0	EC250250A			
300.0	EC300300A			
350.0	EC350350A			
400.0	EC400400A			
450.0	EC450450A			
500.0	EC500500A			
550.0	EC550550A			
600.0	EC600600A			
650.0	EC650650A			
700.0	EC700700A			
750.0	EC750750A			
800.0	EC800800A			
850.0	EC850850A			
900.0	EC900900A			
950.0	EC950950A			
1000.0	EC10001000A			
1200.0	EC12001200A			
1500.0	EC15001500A			
1800.0	EC18001800A			
2000.0	EC20002000A			
2500.0	EC25002500A			
3000.0	EC30003000A			
3500.0	EC35003500A			
4000.0	EC40004000A			
4500.0	EC45004500A			
5000.0	EC50005000A			
5500.0	EC55005500A			
6000.0	EC60006000A			
6500.0	EC65006500A			
7000.0	EC70007000A			
7500.0	EC75007500A			
8000.0	EC80008000A			
8500.0	EC85008500A			
9000.0	EC90009000A			
9500.0	EC95009500A			
10000.0	EC1000010000A			

2% Tolerance
1/2 Watt 1N5713Z Zener Diode
2% Tolerance 200V Zener Diode

1% Tolerance - 1/2 Watt

Series	Voltage	Tolerance
EC05051	5.0	
EC05052	5.0	± 0.5%
EC05053	5.0	± 1.0%
EC05054	5.0	± 2.0%
EC05055	5.0	± 5.0%

1N5713Z



1N4765 thru 1N4784
See Page 4-46

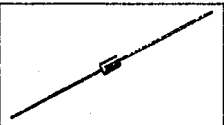


MOTOROLA
1N5232

**1N5221
thru
1N5272**

GLASS ZENER DIODES

**500 MILLIWATTS
2.4-110 VOLTS**



***MAXIMUM RATINGS**

Rating	Symbol	Value	Unit
DC Power Dissipation @ $T_L = 75^\circ\text{C}$	P_D	500	mW
Lead Length > 3.8"		4.0	"
Derate above $T_L = 75^\circ\text{C}$		-	mW/°C

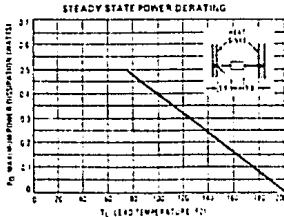
*Indicates JEDEC Registered Data
**See 1N5273 thru 1N5281 for currents > 110 m-A.

MECHANICAL CHARACTERISTICS

CASE: Double Eutectic, Thermally Stable 230°C.
MAXIMUM LEAD TEMPERATURE FOR SOLDERING PURPOSES 230°C.
1/16" from case for 10 seconds
FINISH: All external surfaces are corrosion resistant to MIL-STD-883C
Year 1968

POLARITY: Cathode indicated by color band. When polarized, in zener mode,
cathode will be positive with respect to anode.

MOUNTING POSITION: Any



Designing Data Sheet

**500 MILLIWATT HERMETICALLY SEALED
GLASS SILICON ZENER DIODES**

- Complete Voltage Range - 2.4 to 110 Volts**
- DO-35 Package - Smaller than Conventional DO-7 Package
- Double Slug Type Construction
- Metallurgically Bonded Construction
- Nitride Passivated Die

Designer's Data for "Worst Case" Conditions

The Designer's Data sheets permit the design of most circuits entirely from the information presented. Limit curves - representing boundaries on device characteristics - are given to facilitate "worst case" design.



NOTES:
1. PACKAGE CENTER IS OPTIONAL, WITHIN A 1/4 INCH SQUARE PLANE SURFACE INCORPORATED IN THE Casing BUT NOT SUBJECT TO THE MAX. W.L. MIT OF 1/8".

2. LEAD DIAMETER NOT CONTROLLED. IN 230°C EUTECTIC CERAMIC LEAD AND Solder WIRE, MIN. 0.062" LEAD DIAMETER, THICKNESS 0.015"±0.003".

3. POLARITY INDICATED BY COLOR BAND.

4. DIMENSIONS AND TOLERANCES REFERRED TO FIGURE 1.

WATTAGE	INCHES
0.1W	0.24
0.2W	0.24
0.5W	0.24
1.0W	0.24
2.0W	0.24
5.0W	0.24
10.0W	0.24

5. CASE 299.02
DO-204M
(DO-35)

ELECTRICAL CHARACTERISTICS

$I_{\text{A}} = 25^{\circ}\text{C}$ unless otherwise noted. Based on ac measurements at thermal equilibrium, lead length = 3.8", thermistor resistance of heat sink, +30°C $\text{W}_T \cdot V_T = 1.1 \text{ mA} / 12 \times 250 \text{ m} \cdot \text{K}$ for junction.

JEDEC Type No. (Note 1)	Nominal Zener Voltage $V_Z @ 12T$	Test Current I_{2T} mA	Max Zener Impedance A and B Suffix only	Max Reverse Leakage Current			Max Zener Voltage Temperature Coeff. (A and B Suffix only) $V_Z (\%/\text{C})$ (Note 3)
				$I_R @ V_R$		Max Reverse Leakage Current B only	
				$I_R @ V_R$ mA	Volts	$I_R @ V_R$ Used for Suffix A mA	
				A	B	A	
1N5221	24	20	30	1200	100	0.55	-0.005
1N5222	25	20	30	1250	100	0.55	-0.005
1N5223	27	20	30	1300	75	0.55	-0.005
1N5224	28	20	30	1400	75	0.55	-0.005
1N5225	30	20	29	1600	50	0.55	-0.005
1N5226	33	20	28	1600	25	0.55	-0.005
1N5227	36	20	24	1700	15	0.55	-0.005
1N5228	39	20	22	1800	10	0.55	-0.005
1N5229	43	20	22	2000	5.0	0.55	-0.005
1N5230	47	20	19	1800	5.0	1.2	-0.030
1N5231	51	20	17	1000	5.0	1.2	-0.032
1N5232	56	20	17	1600	5.0	1.2	-0.033
1N5233	60	20	17	1600	5.0	2.4	-0.045
1N5235	65	20	17	750	3.0	4.8	-0.050
1N5236	75	20	6.0	550	3.0	5.7	-0.058
1N5237	82	20	6.0	600	3.0	6.2	-0.062
1N5238	87	20	6.0	600	3.0	6.2	-0.065
1N5239	91	20	10	600	3.0	6.7	-0.068
1N5240	10	20	17	600	3.0	7.6	-0.075
1N5241	11	20	22	600	2.0	8.0	-0.076
1N5242	12	20	22	600	2.0	8.7	-0.077
1N5243	13	55	12	600	2.0	9.4	-0.079
1N5244	14	90	15	600	0.1	9.5	-0.082
1N5245	15	85	16	600	0.1	12.5	-0.082
1N5246	16	78	17	600	0.1	11.4	-0.083
1N5247	17	74	19	600	0.1	12.4	-0.084
1N5248	18	70	21	600	0.1	13.3	-0.085
1N5249	19	66	23	600	0.1	13.3	-0.084
1N5250	20	62	24	600	0.1	14.3	-0.085
1N5251	22	16	29	600	0.1	16.2	-0.087
1N5252	24	52	33	600	0.1	17.1	-0.088
1N5253	25	59	35	600	0.1	18.1	-0.089
1N5254	21	46	47	600	0.1	22	-0.093
1N5255	23	45	24	600	0.1	20	-0.094
1N5256	35	42	45	600	0.1	22	-0.091
1N5257	33	38	56	700	0.1	24	-0.091
1N5258	36	34	70	700	0.1	26	-0.093
1N5259	39	32	52	800	0.1	29	-0.094
1N5260	43	30	93	900	0.1	31	-0.095
1N5261	47	27	105	1300	0.1	34	-0.095
1N5262	51	25	121	1100	0.1	37	-0.096
1N5263	56	22	150	1300	0.1	41	-0.096
1N5264	63	21	171	1400	0.1	44	-0.097
1N5265	62	2.0	181	1420	0.1	45	-0.097
1N5266	68	18	200	1620	0.1	49	-0.097
1N5267	75	17	270	1750	0.1	53	-0.098
1N5268	82	15	330	2020	0.1	59	-0.098
1N5269	87	14	272	2220	0.1	55	-0.099
1N5270	91	14	400	2320	0.1	65	-0.099
1N5271	100	13	500	2600	0.1	72	-0.110
1N5272	110	11	750	3000	0.1	80	-0.110

NOTE 1. Tolerance = $\pm 10\%$ (JEDEC type numbers shown indicate a tolerance of $\pm 10\%$ with guaranteed limits on all V_Z , I_A and V_R as shown in the electrical characteristics table. Units with guaranteed limits

NOTE 2. Special Selections? Available include:

1. Nominal zener voltages between those shown.

2. Two or more units for series connection with specified

**ESTA TESIS NO DEBE
SALIR DE LA BIBLIOTECA**

Linear IC and Module Circuits (cont'd)

HPS-A20

ECC99 TO-35W Fig. L11 24V, 1.2 to 33V, 3A <p>$IV_{out} = 12.4 \left(1 + \frac{R_2}{R_1}\right)$</p>	ECC91 TO-35W Fig. L12 24V, 1.2 to 33V, 3A <p>$IV_{out} = 12.4 \left(1 + \frac{R_2}{R_1}\right)$</p>	ECC171 Balanced Mod Demod 	10-Pin Pin See Fig. L7
ECC170 Balanced Mod Demod 	ECC876 16-Pin DIP See Fig. L134 Phase Frequency Detector 	ECC174 8-Pin DIP See Fig. L135 ECC175M 8-Pin DIP See Fig. L135 Op Amp, Extremely Compensated Supply Voltage ± 18 Vdc 	
ECC178 8-Pin DIP See Fig. L137 Op Amp, Internally Compensated, Supply Voltage ± 18 Vdc <p>(See also)</p>	ECC177 See ECC175D Page 1-173 	ECC175 ECC175M 16-Pin SOIC See Fig. L136 Dual Timing Circuit ECC179C 16-Pin DIP See Fig. L134 Dual Low Power Timer/Clock/Freq., CMOS Chip 	16-Pin DIP See Fig. L134
ECC179 Zero Crossing Trigger 			16-Pin DIP See Fig. L134

A P E N D I C E . C.

DIODOS ZENER.

La configuración que se observa en el circuito sensor de líneas de los diodos opuestos se puede englobar su funcionamiento como sigue: para una señal senoidal suponemos que tomamos un instante, cuando $V_i = 10V$ el circuito aparecerá como se muestra en la figura 2.9 (b), la región en que está operando cada diodo zener se indica en la figura adjunta.

Se puede observar que la impedancia asociada con Z_1 es relativamente pequeña, o para nuestro estudio la consideramos como si tuviéramos un corto, puesto que se encuentra en serie con una resistencia muy alta, de tal manera la impedancia asociada con Z_2 es extremadamente alta, que para nuestro estudio la consideramos como un circuito abierto, por lo tanto, se observa sólo el voltaje que está llegando sin ningún cambio.

Como se puede ver en la figura 2.9 (a), los diodos zener son de 20 volts, y es aquí donde ellos recortaron el voltaje de entrada cuyo valor de pico es de 22 volts, y es recortado a 20 volts que es el voltaje de especificación del diodo zener, es decir; el semicírculo positivo es regulado por Z_2 y el negativo por Z_1 , como se observa claramente en la gráfica.

El voltaje excedente de entrada es derivado a través del diodo zener, hay que recordar que en ocasiones este voltaje es alto, por lo tanto, hay que recurrir a diodos zener de más potencia.

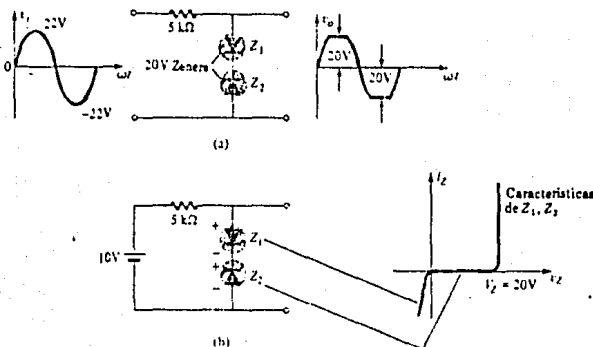


Figura 2.9 Regulación sinusoidal; (a) regulador sinusoidal ac de 10 V p.c.pico, (b) operación circuital a $V_i = 10$ V.

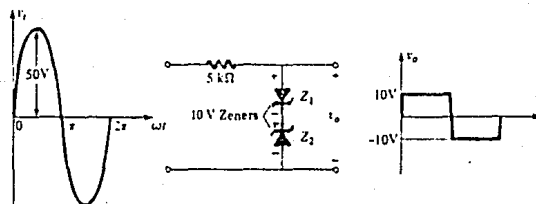


Figura 2.10 Generador simple de onda cuadrada.

**1N4728,A
thru
1N4764,A**



**MOTOROLA
1N4739**

DATA SHEET FOR 1N4739

ONE WATT HERMETICALLY SEALED GLASS SILICON ZENER DIODES

- Complete Voltage Range - 3.3 to 100 Volts
- DO-41 Package - Smaller than Conventional DO-7 Package
- Double Slug Type Construction
- Metallurgically Bonded Construction
- Nitride Passivated Die

Designers' Data for "Worst Case" Conditions

The Designers' Data sheets permit the design of most circuits entirely from the information presented. L-M curves - representing boundaries on device characteristics - are given to facilitate "Worst Case" design.

MAXIMUM RATINGS

Rating	Symbol	Value	Unit
DC Power Dissipation @ TA = 50°C	P _D	1.0	Watt
Derating Factor		6.67	mW/°C
Operating and Storage Junction Temperature Range	T _J , T _S	-65 to +200	°C

MECHANICAL CHARACTERISTICS

CASE: Double slug type, thermite & hermetically sealed

MAXIMUM LEAD TEMPERATURE FOR SOLDERING PURPOSES: 220°C. 1.1 sec.
(from case for 10 seconds)

FINISH: All exterior surfaces are coated or plated with lead-free solder or tin-lead.

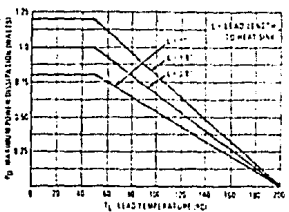
POLARITY: Cathode is marked by color band. When operated in Zener mode, cathode is positive with respect to anode.

MOUNTING POSITION: Any.

1.0 WATT ZENER REGULATOR DIODES 3.3-100 VOLTS



FIGURE 1 - POWER TEMPERATURE DERATING CURVE



MILLIMETER DIMENSIONS	
DN	4.5
VW	2.1
WL	1.0
BL	.35
AL	.35
DL	.35
FL	.35
TL	.35

CASE 5903
DO-41

- NOTES:
1. ALL TOLERANCES ARE ASSOCIATED
WITH JEDEC CC-470 CASE SHELL
INPUT.
2. POLARITY DENOTED BY CATHODE
BAND.
3. LEAD DIAMETER NOT CONTROLLED
AT THE Y-DIMENSION.

1N4001
thru
1N4007



MOTOROLA
1N4001

GENERAL-PURPOSE RECTIFIERS

...subminiature size, axial lead mounted rectifiers for general-purpose low-power applications.

LEAD-MOUNTED
SILICON RECTIFIERS
50-1000 VOLTS
DIFFUSED JUNCTION

MAXIMUM RATINGS

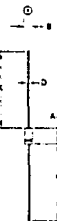
Rating	Symbol	Siemens	Ampere	Siemens	Ampere	Siemens	Ampere	Siemens	Ampere
Peak Reverse Average Voltage	$V_{(AV)P}$	-	-	50	100	200	400	600	1000
Repetitive Peak Reverse Voltage 10% Duty Cycle at 50 Hz	$V_{(AV)R}$	-	-	500	600	1200	2400	4000	5000
Max. Reverse Current	$I_{(AV)R}$	-	-	0.5	0.5	1.5	2.5	4.0	5.0
Average Rectified Current	$I_{(AV)A}$	-	-	10	-	10	-	10	Amp.
Average Rectified Current Temperature vs. Ambient 0.025 deg. C./deg. K. ($T_A = 25^\circ\text{C}$)									
Non-Rectifying Max. Safe Current Dissipation at Normal Load Conditions (see Table 2)	$I_{(AV)M}$	-	-	32	for 10°C. ΔT	32	-	48	Amp.
Operating and Storage Junction Temperature Range	T_J, T_S	-	-	65 to 175	-	-	-	-	-



ELECTRICAL CHARACTERISTICS

Characteristic and Condition	Siemens	Volts	Max	Units
Maximum Instantaneous Forward Voltage Drop $i = 1.0 \text{ Amp}, T_J = 25^\circ\text{C}$ (Fig. 1)	-	0.12	1.1	VEN
Maximum Full-Cycle Average Forward Voltage Drop $i = 1.0 \text{ Amp}, T_J = 25^\circ\text{C}$, 1-inch lead	0.04	-	0.8	VDF
Maximum Reverse Current (at 25°C)	-	-	-	-
$T_J = 25^\circ\text{C}$	10	0.05	10	A
$T_J = 125^\circ\text{C}$	10	0.05	10	A
Maximum Full-Cycle Average Reverse Current $i = 1.0 \text{ Amp}, T_J = 125^\circ\text{C}$, 1-inch lead	0.001	-	0.01	A

Information JEDEC Registered Data



NOTE:
1. POLARITY DENOTED BY CATHODE
BAND

2. LEAD DIAMETER NOT CONTROLLED
BY THIN "T" DIVISION

Mechanical Characteristics

CASE: Transfer Molded Plastic

MAXIMUM LEAD TEMPERATURE FOR SOLDERING PURPOSES: 350°C , 3 sec from case for 10 seconds, at 5 lbs. tension

FINISH: All external surfaces are corrosion resistant, leads are readily solderable

POLARITY: Cathode indicated by color band

WEIGHT: 0.40 Grams (approximate)

	(MILLIMETERS)		(INCHES)	
DIM.	MIN	MAX	MIN	MAX
A	0.57	0.62	0.023	0.025
B	2.71	3.05	0.107	0.122
C	0.31	0.34	0.012	0.013
D	0.73	-	0.029	-

CASE 88-06
(Does not meet DO-41 outline)

TNAD01

Diodes and Rectifiers (General Purpose)

ECB Type	Description	Peak Reverse Voltage Max V	Infrared Forward Current Max	Infrared Forward Recovery Time Max	Infrared Reverse Recovery Time Max	Infrared Reverse Voltage Max V	Peak I _{an}	Peak Pulse Current	Peak Recovery Time	Pd Rd
ECG109	Gen-Purp.	Ge 100	200 mA	—	—	—	—	—	—	22
ECG110A	Gen-Purp.	Ge 60	50 mA	150 mA	—	—	—	—	—	22
ECG110AMP	Matched Diode Pair	Ge 30	15 mA at 80°C	—	—	—	—	—	—	22
ECG112	UHF Master (Schottky)	Si 8	25 mA	—	—	5.1@ 60 mA	—	—	—	24
ECG113A	Common Cathode Dual Diode, Center Tap, TV Power	Si 100	13 A	—	—	3.5 V at 1 A	—	—	—	215
ECG114	Series Dual Diodes TV Power	Si 20	—	~1.1 mA	—	—	—	—	—	212
ECG115	Common Anode Dual Diode, TV Power AFC	Si 20	—	~1.1 mA	—	—	—	—	—	212
ECG116	Gen-Purp. Rel.	Si 162	1.4 A	—	—	1.5 V at 1 A	—	—	—	22
ECG117A	Gen-Purp. Rect. Metal Oxide	Si 100	1.5 A	—	—	2.4 V	—	—	—	210
ECG119	Color TV Conv. Rel.	Si 18	55 mA	—	—	—	—	—	—	211
ECG138	Gen-Purp. Rect.	Si 100	2.5 A at 25°C Load Temp	—	—	3.6 V at 1 A	—	—	—	22
ECG154	Gen-Purp. Rect.	Si 100	2 A	—	—	1.5 V at 5 A	—	—	—	26
ECG172RF	TV Diode	Si 500	80 mA	3 A	4 ns	1.4 V at 50 mA	—	—	—	24
ECG177	Fast Siv. Det. etc.	Si 200	150 mA	20 mA	50 ns	1.5 V at 100 mA	—	—	—	24
ECG178MP	Matched Diode Pair, ATC, ATC, etc.	Si 50	7.5 mA	10 mA	—	1.5 V at 5 mA	—	—	—	22
ECG208	Si. Fast Recovery Det. Cathode, Zener	Si 1000	2 A	35 A	50 ns	10 V at 1 A	—	—	—	20
ECG207	Gen-Purp. Rect. Gating, Rectifying	Si 50	250 mA	—	1 ns	10 V at 1 A	—	—	—	26
ECG219	Si. Fast Recovery Detector, Metal Oxide	Si 800	1 A	8 A	1.2 ns	1.5 V at 1 A	—	—	—	22
ECG219	Fast Siv. Diode	Si 130 (BRW)	2.0 mA	450 mA	4 ns	1.5 V at 10 mA	—	—	—	24
ECG228	Si. Fast Recovery Detector	Si 2000	1 A	—	500 ns	2 V at 2 A (Peak Fac.)	—	—	—	24
ECG261	Si. Fast Recovery Detector, Metal Oxide	Si 1500	1 A	—	1 ns	1.5 V at 2 A	—	—	—	22
ECG262	Gen-Purp. Rect. Fast Recovery	Si 600	1 A	—	200 ns	1.5 V at 20 mA	—	—	—	22
ECG268	Gen-Purp. Rect. Fast Recovery, HV	Si 1500	1 A	—	200 ns	1.2	—	—	—	26
ECG280	Gen-Purp. Rect. Fast Recovery	Si 500	3 A	5.2A 8.2A 11.4A 15.6A	250 ns	1.5 V at 2 A	—	—	—	21A
ECG281	Gen-Purp. Rect. Fast Recovery	Si 400	3 A	8.0A 12.8A 19.2A	200 ns	1.2 V at 2 A	—	—	—	21A
ECG282	TV Diode	Si 3000	3.0 mA	—	340 ns	1.5 V at 30 mA	—	—	—	21A
ECG283	Detector, Mixer (Schottky), Hot Carrier Modulator	Si 12	10 mA	—	1 ps	4.5 V at 1 mA	—	—	—	24
ECG284	Detector, Mixer (Schottky), Hot Carrier Modulator	Si 20	35 mA	—	1 ps	4.5 V at 1 mA	—	—	—	24

Microwave Mixer Diodes

IC-4001

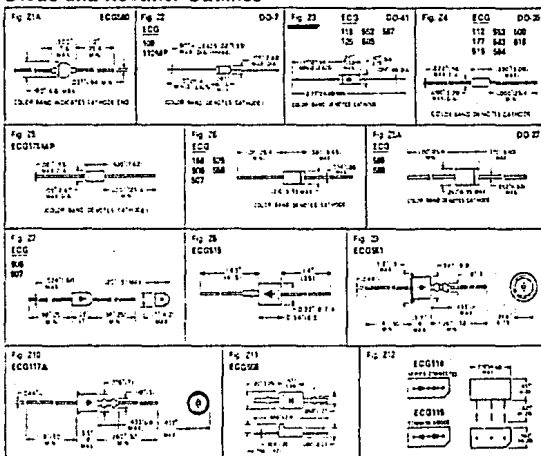
Type No.	Max. Power (Watt)	Max. Power (Watt)	1.5 MHz @ 10 MHz (Normal)	Max. Rate	Burn Out (Watts)	Tg
1N415C	.675	.93	225-47	13	20	264
1N415E	.575	.73	225-45	13	20	264
1N416C	.375	.63	225-725	—	20	264
1N416E	.380	.70	225-400	13	5.0	264



PIN Diodes

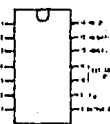
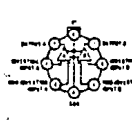
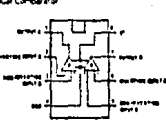
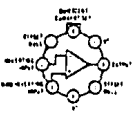
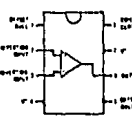
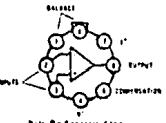
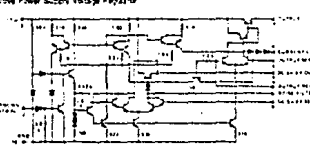
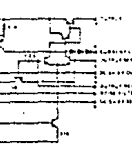
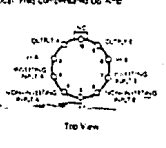
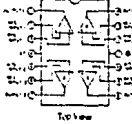
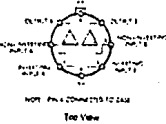
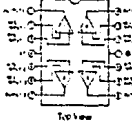
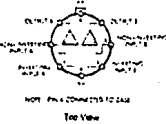
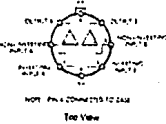
ECO Type	Description and Application	Max. Power (Watt)	X (dBm)	Max. Rate	Tg	Ls	Max. IDPower	Tg
EC053	Si-PIN Diode UHF, VHF Switch	.200	30	150	—	2.5	1.2	24
EC058	Si-PIN Diode Gen Pump & VHF Switch	.600	35	150	—	3.0	.07	211

Diode and Rectifier Outlines



MC34D3P.

Linear IC and Module Circuits (cont'd)

ECG84 16-Pin DIP See Fig. L10 CD 4046 Dual Op-Amp	ECG85 8-Pin Can See Fig. L3 Dual Op-Amp	ECG86 8-Pin DIP See Fig. L28 ECG86M 8-Pin SOIC See Fig. L27 Dual Op-Amp
 <p>Top View</p>	 <p>Top View</p>	 <p>Top View</p>
ECG88 Programmable Op-Amp	ECG89A Programmable Op-Amp	ECG89 Op-Amp Internal Comp Distortion circuit
 <p>Top View</p>	 <p>Top View</p>	 <p>Top View</p>
ECG90 Positive Power Supply Voltage Regulator	TC-56 5-Pin See Fig. L12	ECG92 10-Pin Can See Fig. L7 Dual Freq Compound Op-Amp
	 <p>Top View</p>	 <p>Top View</p>
ECG93D 14-Pin DIP See Fig. L15A Dual, Freq Compensated Op-Amp	ECG96, ECG97 14-Pin DIP See Fig. L15A ECG96M, ECG97M 14-Pin SOIC See Fig. L15C Quad Op-Amp	ECG98 8-Pin Can See Fig. L3 Dual Op-Amp
Pins 10 & 13 See Text Example	 <p>Top View</p>	 <p>Top View</p>
ECG99 12-Pin DIP See Fig. L15B Dual Op-Amp	 <p>Top View</p>	 <p>Top View</p>
Note: Pin 4 connects to case	ECG99 12-Pin DIP See Fig. L15B Dual Op-Amp	 <p>Top View</p>

A P E N D I C E D.

REALIZACION DEL IMPRESO.

Para llevar a cabo la formulación del impresio, como primer paso se hace un dibujo, donde principalmente está la forma de conectar los dispositivos que componen los circuitos; de ahí se pasa este dibujo en tinta china y sobre papel albanene a la escala de 1:2, es decir, cuatro veces más grande de lo que serían las dimensiones reales, tanto de los dispositivos, como de las conexiones.

Todo esto se lleva a cabo con el fin de disminuir al mínimo las imperfecciones del dibujo, ya que se reduce a su dimensión real.

Despues de esto, al dibujo se le toma una fotografía donde se reduce a su tamaño original, a este proceso se le llama toma del fotolito. Ya tomado el fotolito, el cual es una fotografía, donde se puede obtener el positivo y negativo del dibujo ya con sus dimensiones reales, se pega a lo que sería la impresión del negativo en una seda, este proceso se denomina serigrafia.

Ya con el fotolito impreso en una seda que se encuentre debidamente estirada en un marco, se pasa a lo que seria la impresión del mismo sobre la tableta de cobre, este proceso se lleva a cabo cubriendo con la seda la tableta de cobre y esparciendo pintura especial sobre la misma, esta pintura es removida con un instrumento llamado rasero, con el fin de que la pintura cubra todo el dibujo.

A continuación se retira el marco, quedando impreso el negativo del fotolito en la tableta de cobre, esto es, la pintura pasa a través de la seda, sólo donde está el dibujo, quedando impresas todas las pistas necesarias que aparecen en la seda.

A continuación la tableta se expone a un ácido especial, que se llevará todo el cobre de la tableta, excepto donde haya pintura, quedando en sobre sólo las pistas que se tengan que utilizar.

Los componentes son insertados en todos los agujeros que se hicieron a continuación con una broca especial, estos componentes son puestos por la cara contraria a donde se encuentran las pistas y soldados por debajo sobre la pista de cobre, quedando así terminada la tableta.

B I B L I O G R A F I A

BIBLIOGRAFIA:

- AMPLIFICADORES OPERACIONALES
DISEÑO Y APLICACIONES.
TOBIN GRIEVE HUELSMAN
EDITORIAL DIANA.
- CIRCUITOS INTEGRADOS LINEALES
Y AMPLIFICADORES OPERACIONALES.
ROBERT F. COUGHLIN FREDERICK F.
DRISCOLL.
EDITORIAL PRENTICE HALL.
- ELECTRONICA TEORIA DE CIRCUITOS.
BOYLESTAD, NABHILSY
EDITORIAL PRENTICE HALL.
- LOGICA DIGITAL Y DISEÑO DE COMPUTADORES
MORRIS MANO
EDITORIAL PRENTICE HALL.
- ECG SEMICONDUCTOR
MASTER REPLACEMENT GUIDE
PHILIPS INC.
- MOTOROLA INC.
RECTIFIERS AND ZENER DIODES DATA
MOTOROLA INC.